

# MISURE VULCANICHE

(1)

## • SORGENTI LASER; PRINCIPI di FUNZIONAMENTO

LASER: LIGHT AMPLIFICATION BY STIMULATED EMISSION OF RADIATION



inventato da T. Maiman (1960)

MASER: MICROWAVE AMPLIFICATION BY STIMULATED EMISSION OF RADIATION

oscillatori nel range delle microonde (1954) cui si ispirò Maiman.

LASER: si passa alle freq. ottiche (qui sono più evidenti fenomeni quantistici)



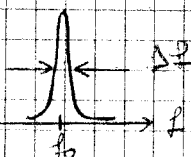
- CARATTERISTICHE della SORGENTE di WCE LASER:

• MONOCROMATICITÀ → spettro strettissimo

$$f_0 \approx 300 \text{ THz} \div 500 \text{ THz}$$

$$\Delta f \approx 1 \text{ mHz} \text{ (il meglio!)}$$

$$\rightarrow \frac{\Delta f}{f_0} \approx 3 \cdot 10^{-18}$$



• COERENZA SPAZIALE E TEMPORALE → proprietà di una onda elettrica di mantenere una certa relazione di fase con se stessa durante la sua propagazione.

• DIREZIONALITÀ (fascio collimato) → l'angolo solido sotto cui dà un fascio laser è molto piccolo.

• BRILLIANZA: → la densità di energia emessa per unità di angolo solido è molto elevata.

• POLARIZZAZIONE → vettore campo el. in una direzione fissata.

• DURATA TEMPORALE → densità di energia in st. (più alta)

→ Durezza: 10^-12 s, 10^-13 s, 10^-14 s, 10^-15 s

- SPECTRO E.M. Oscillatori alle freq. ottiche →  $f \approx 500 \text{ THz}$

$$\lambda = c/f$$



$$\begin{cases} \lambda = 10 \text{ mm} \div 1 \text{ mm} \\ \lambda = 1000 \div 2,5 \mu\text{m} \\ \lambda = 2,5 \div 0,75 \mu\text{m} \\ \lambda = 750 \div 380 \text{ nm} \\ \lambda = 380 \div 400 \text{ nm} \\ \lambda = 40 \div 1 \text{ nm} \\ \lambda = 1 \div 0,01 \text{ nm} \\ \lambda = 10 \div 0,01 \text{ pm} \end{cases}$$

v fisso del  
variabile del  
medio.

ONDE MILIMETRICHE → MICROONDE, ONDERRADIO.

MEDIO e LONTANO IR

VICINO IR

VISIBLE

UV

RAGGI X SOFFICI

RAGGI X DURI

RAGGI γ

WCE

PERTINENZA OTICA: stimolazione o eccitatore → LASER IN REGIME CONTINUO o RIPETUTO

## RAPPRESENTAZIONE DELLA LUCE:

• TEORIA ONDULATORIA → luce come onda e in:

- fenomeni di interferenza
- effetti di diffrazione.

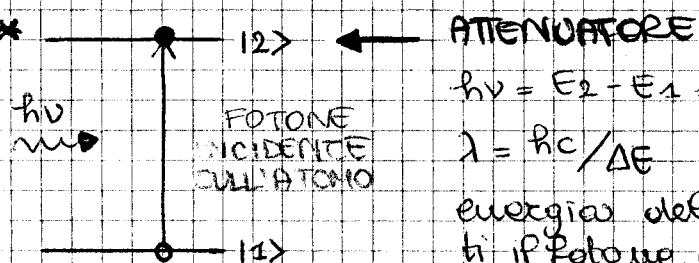
• TEORIA CORPOSCOLARE → luce come insieme di fotoni

- quantizzazione dell'energia  $E = h\nu$
- interazione radiazione - materia spiegata mediante assorbimento e emissione di fotoni

• OTICA GEOMETRICA → luce come raggi

- analisi di sistemi ottici in cui si hanno fenomeni di riflessione e rifrazione
- più formalmente OTICA GAUSSIANA

## ASSORBIMENTO e EMISSIONE.



$$\tau = \frac{c}{\lambda}$$

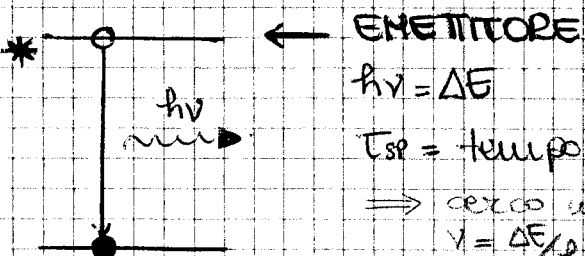
$$v = \Delta E / h = c/\lambda$$

$$\lambda = hc / \Delta E$$

energia del fotone = salto energetico (altrimenti se il fotone attraversa l'atomo lasciandolo inalterato) ⇒ ho assorbimento se il fotone ha la giusta  $\lambda$ .

### ASSORBIMENTO

" un elettrone al livello energetico inferiore assorbe tutta l'energia del fotone e viene promosso al livello superiore  
livelli atomici quantizzati.



$$h\nu = \Delta E$$

$T_{se}$  = tempo di decadimento spontaneo

⇒ cerco materiali con  $E_2 - E_1$  che diano  $v = \Delta E/h = 100 \text{ THz}$

### EMISSIONE SPONTANEA

" un elettrone al livello energetico eccitato tende a decadere su un livello più basso per suo natura in un tempo caratteristico  $T_{se}$ . Decalculando l'effettivo emette un fotone di energia  $h\nu = \Delta E$ .

→ "EMISSIONE è INCOERENTE" energia emessa con freq. non esattamente determinata e fase e direzione casuali.

## \* AMPLIFICATORE

$h\nu = E_2 - E_1 \rightarrow$  se ho tanti atomi puo' essere che vengano assorbiti tutti a tutte entro un range.

## EMISSIONE STIMOLATA

un elettrone allo stato eccitato interagisce con un fotone incidente di energia  $h\nu = E_2 - E_1$ . l'elettrone in seguito all'interazione decade così in uscita; abbiamo due fotoni di pari energia.



livelli energetici quantizzati si trovano su:

- atomi
- i cui insiemi cristalli
- molecole  $\rightarrow$  ANCHE UTILI NEARIZIONALI

nei semiconduttori si trovano bande.



AMPLIFICAZIONE:  $\rightarrow$  per avere amplificazione nebbia mediante emissione stimolata e necessario avere INVERSIONE DI POPOLAZIONE

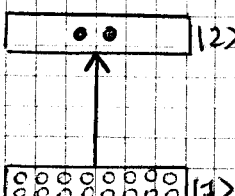
$E_2 > E_1 \Rightarrow$  dall'equilibrio termodinamico  $N_2 < N_1$

$\rightarrow$  IRRADIO il materiale che fa da assorbitore/lettore ho assorbimento di molti energia trasposta in promozione di elettroni ai livelli energetici eccitati.

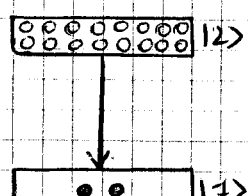
Perciò avere amplificazione devo ottenere una situazione di DISEGUILIBRIO:  $N_2 > N_1$

$\Rightarrow \Delta N = N_2 - N_1$  è detta INVERSIONE DI POPOLAZIONE

se  $N_1 = N_2$  cioè  $\Delta N = 0 \rightarrow$  materiale trasparente alle 2 considerate.



ATTENZIONE  
 $N_1 > N_2$



AMPLIFICAZIONE  
 $N_2 > N_1$

il fotone incidente viene AMPLIFICATO producendo due fotoni.

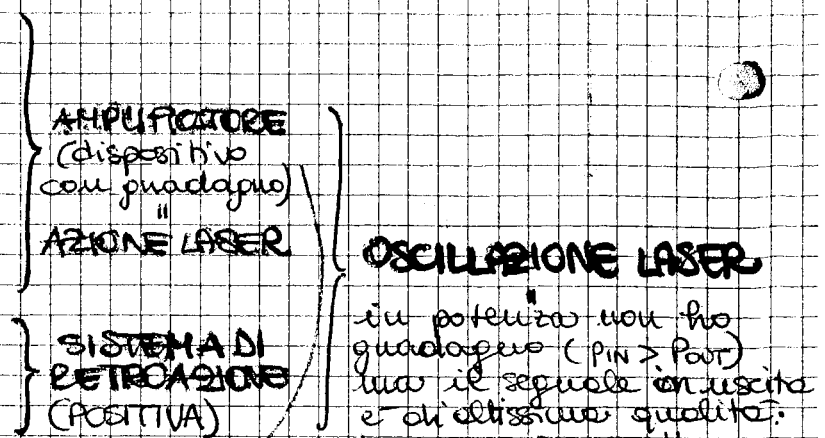
L'emissione è COERENTE: i due fotoni hanno uguali freq. e direzione.  
**(LUCE LASER)**

# ➡ VOLTI IN MATERIALE LITURGICO

- MATERIALI ATTIVI  
(con opportuni livelli energetici)

- MECCANISMO di POMPA  
(trasferimento di energia  
che permette di ottenere  
l'INVERSIONE DI POPOLAZIONE  
economizzando il funzionale  
attivo e ottenerne GUADAGNO OTTICO)

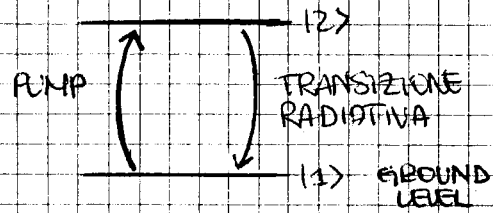
- RISONATORE OTTICO  
(confinamento radiazione e.m.)



All'EQUILIBRIO con l'accesso  
aumentato si perde  
GUADAGNO e PERDITE.

## AMPLIFICAZIONE OTTICA

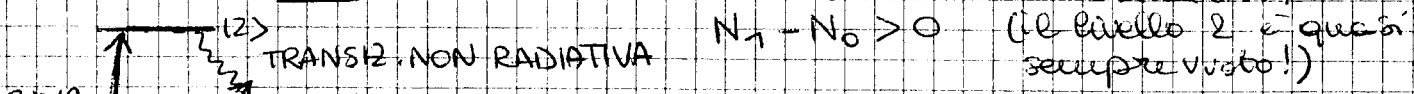
- SISTEMA A DUE LIVELLI → IMPOSSIBILE OTTENERE AMPLIFICAZIONE OTTICA (NETTA)



quando avviene a  $N_1 = N_2 = N_{TOT}/2$  una  
ulteriore energia di pompaggio dovrebbe  
far stessa probabilità per le transizioni  
 $1 \rightarrow 2$  e  $2 \rightarrow 1$

è impossibile ottenere la condizione  
di amplificazione netta  $N_2 > N_1$  cioè  
non è possibile iniettare più di  $N_2/2$  atomi  
→ servono più di 2 livelli

- SISTEMA A TRE LIVELLI → INVERSIONE DI POPOLAZIONE!



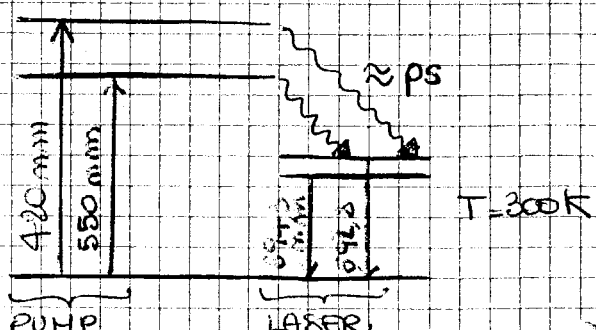
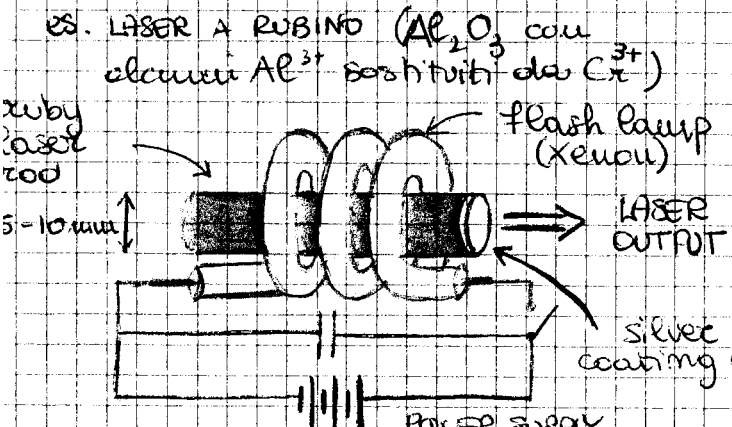
$N_1 - N_0 > 0$  (il livello 2 è quasi  
sempre vuoto!)

CONDIZIONE PER IL FUNZIONAMENTO

$T_{21} \ll T_{10}$  (TEMPI DI DECADIMENTO)

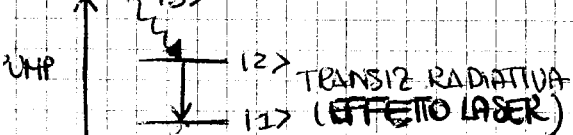
(non è facile da ottenere; il livello  
2 va svuotato per ottenere  $\Delta N$ )

dovendo essere privo di livello  
superiore  $N_2 + m$  atomi.



- SISTEMA A QUATTRO LIVELLI

$$13) \Delta N = N_2 - N_1 \quad N_3 \approx N_1 \approx 0$$



es. YAG ( $Y_2 Al_5 O_12$  con alcuni  
 $Y^{3+}$  sostituiti da  $Nd^{3+}$ )

E' IL SISTEMA PIU' EFFICIENTE (perché  
il livello 1 > viene svuotato dalla transi-  
zione non radiativa)

CONDIZIONE PER IL FUNZIONAMENTO:

$T_{10}, T_{32} \ll T_{21}$ , e sufficiente prendere  
una gran quantità di livello superiore

## POMPAGE

- SCARICA ELETTRICA (gas) → l'energia della scarica eccita mediante urti gli atomi / ioni (elettronica)
- POMPAGE OTTICO (crystalli, vetro, liquidi) → i fotoni di pump eccitano gli atomi / ioni.
- POMPAGE ELETTRICO (semi conduttori) → l'energia della corrente elettrica composta in trasfugamento di fotoni di luce.

**GUADAGNO IN UN MATERIALE ATTIVO** ⇒ AMPLIFICA LA RADIAZIONE LASER (Laser)

$$\frac{dI}{dt} = \sigma (N_2 - N_1) I$$

AMPLIFICAZIONE per unità di lunghezza nell'attivo

$$I(t) = I_0 \exp[\sigma \Delta N \cdot t]$$

$\sigma$  = cross section di emissione ( $\text{cm}^2$ )

$$\frac{I(t)}{I_0} = G = \exp(g\ell)$$

$\Delta N$  = inversione di popolazione

$I$  = intensità ottica ( $\text{W/cm}^2$ )

$\ell$  = lunghezza materiale attivo

$$g = \sigma \cdot \Delta N = \text{guadagno logaritmico } (\text{cm}^{-1})$$

$G$  = GUADAGNO OTTICO PER SINCUO PASSAGGIO

## RISONATORI OTTICI TIPO FABRY-PEROT

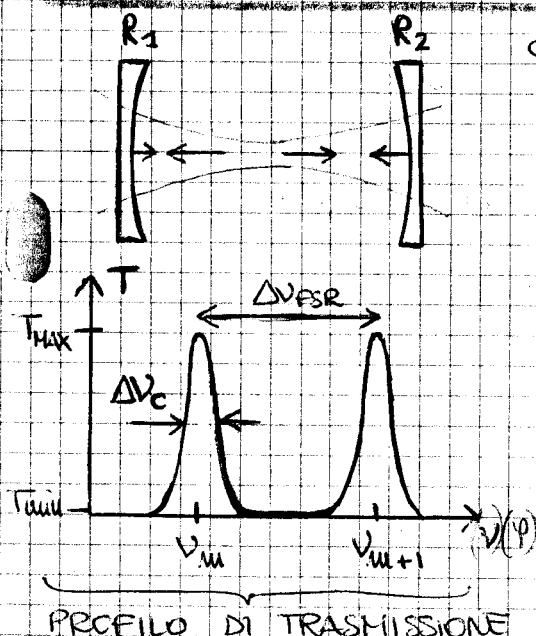
meccanismo di retroazione positiva per oscillatore laser  
CONDIZIONE DI RISONANZA

$$L = m \cdot \lambda/2 \Rightarrow v = m \cdot c/2L \quad \text{AUTOFREQUENZE}$$

$$\Delta v_{FSR} = \frac{c}{2L} \quad \text{FREE SPECTRAL RANGE}$$

$m$  = ORDINE DEL MODO DI RISONANZA  
(quante volte ci sono in un round-trip 2L)  
(quale ordine di FSR corrisponde alla freq.  $v$ ).

$$\begin{aligned} f &= \Delta v_{FSR} / \Delta v_c = \text{FINESSA} & \Delta v_c &= \text{larghezza di} \\ &= \frac{\pi (R_1 R_2)^{1/4}}{1 - (R_1 R_2)^{1/2}} \approx \frac{\pi \sqrt{R}}{1 - R} & \text{xigau} \\ & (R_1 \approx R_2 = R) \end{aligned}$$



$$T = P_{out}/P_{in}$$

$$T(\varphi) = \frac{(1-R)^2}{1+R^2 - 2R \cos \varphi}$$

FABRY

$$\Delta v_c = \frac{1}{2\pi T_c} = \frac{c\gamma}{2\pi L}$$

$T_c$  = tempo di ritorno del

$\gamma$  = perdite caratteristiche per passaggio

$$T_{MAX} \leftrightarrow \cos \varphi = 1$$

$$T_{min} \leftrightarrow \cos \varphi = -1$$

$$Q = v / \Delta v_c = \frac{v M}{\Delta v_{FSR}} = m f \quad \text{FASSORE DI MERITO}$$

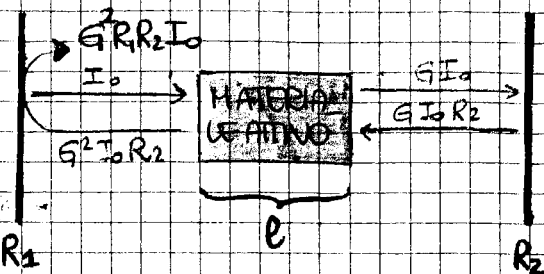
$$M = 2\pi \cdot \frac{2L}{\gamma} = K \cdot S = 2\pi \frac{2L}{c} =$$

$$\Rightarrow \varphi = m(2\pi + \gamma)$$

$\frac{1}{\Delta v_c}$  = pendenza di discriminazione

**GUADAGNO CINETICO** (o inversione critica) che consente di INNESSARE L'OSCILLAZIONE LASER in un materiale attivo retroazionato positivamente.

**GUADAGNO DI ROUND TRIP** = PERDITE DEL RISONATORE  
(doppio passaggio)



$$I_0 = G^2 R_1 R_2 I_0 \rightarrow G^2 = \frac{1}{R_1 R_2}$$

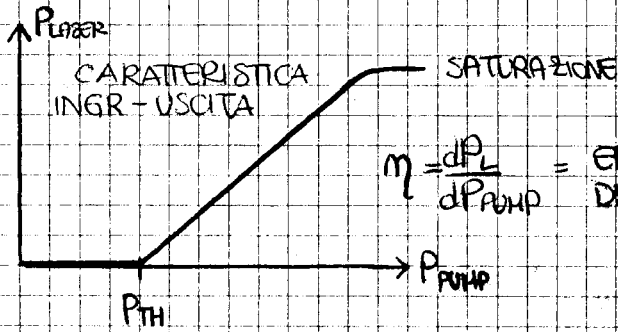
$$\exp[2\sigma(N_2 - N_1)\ell] = \frac{1}{R_1 R_2}$$

$$\sigma(N_2 - N_1)\ell = \frac{1}{2} [-\ln(R_1) - \ln(R_2)] = \gamma \rightarrow \gamma = \text{PERDITE LOGARITMICHE}$$

$$\rightarrow (N_2 - N_1)_{TH} = \frac{\gamma}{\sigma e}$$

$$\gamma = \gamma_1 + \gamma_2 = -\ln(\frac{R_1}{2}) - \ln(\frac{R_2}{2})$$

(VEDERE POST-IT pag. 4)



$$\eta = \frac{dP_L}{dP_{PUMP}} = \text{EFFICIENZA DIFFERENZIALE}$$

$$\eta = P_{TH} = P_{PUMP, min} + t.c. P > 0$$

Per pot. di pompasso che non viene convertito in pot. laser  $\Rightarrow$  dissipazione di calore nel cristallo. C'è nei componenti.

**STATO FISICO / PROPRIETÀ MATERIALE ATTIVO:**  
gas o gas, o coloranti (liquido), o stato solido, o semiconduttore.

**TIPI di LASER**

**LUNGHEZZA D'ONDA DI EMISSIONE**  
IR, visibile, UV, raggi X

**REGIME DI FUNZIONAMENTO**

in continua (singolo modo multimodo, singola freq.) o laser impulso (pulsing, Q-switching, mode-locking)

### • LASER A GAS: (POMPA A SCARICA EL.)

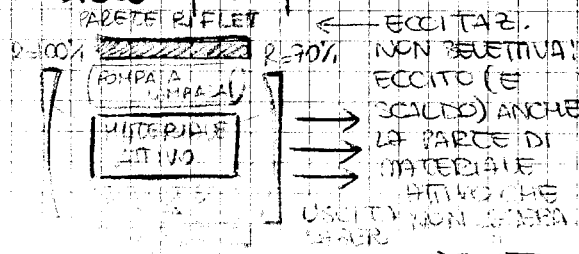
- tubo a flusso ( $\text{CO}_2$ )  $\rightarrow$  IR:  $10 \mu\text{m}$

- tubo a gassato ( $\text{He-Ne}$ )  $\text{He} : 10 = \text{Ne} : 1$   
 $\rightarrow$  ROSSO  $633 \text{ nm}$

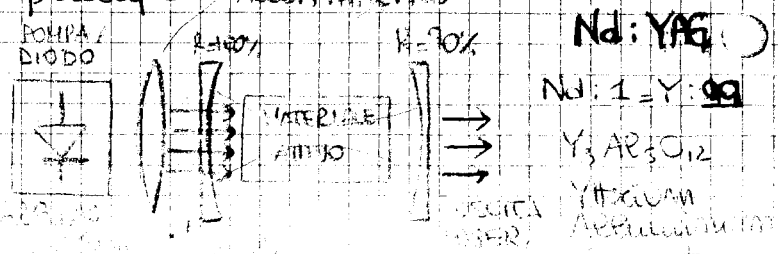
**POMPA A SCARICA ELETTRICA:**  
per scarica eccitare per impatto el-atomico gli atomi di He che trasferiscono la loro energia di eccitazione agli atomi di Ne che effettuano l'elissione laser (RESONANT ENERGY TRANSFER)

### • LASER A STATO SOLIDO ( $\lambda_{emiss} = 1064 \text{ nm}$ )

- side pumped



- end pumped



OTICHE DI ACCOPPIAMENTO

entrambi il

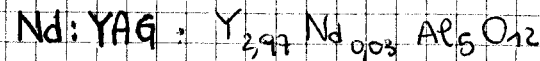
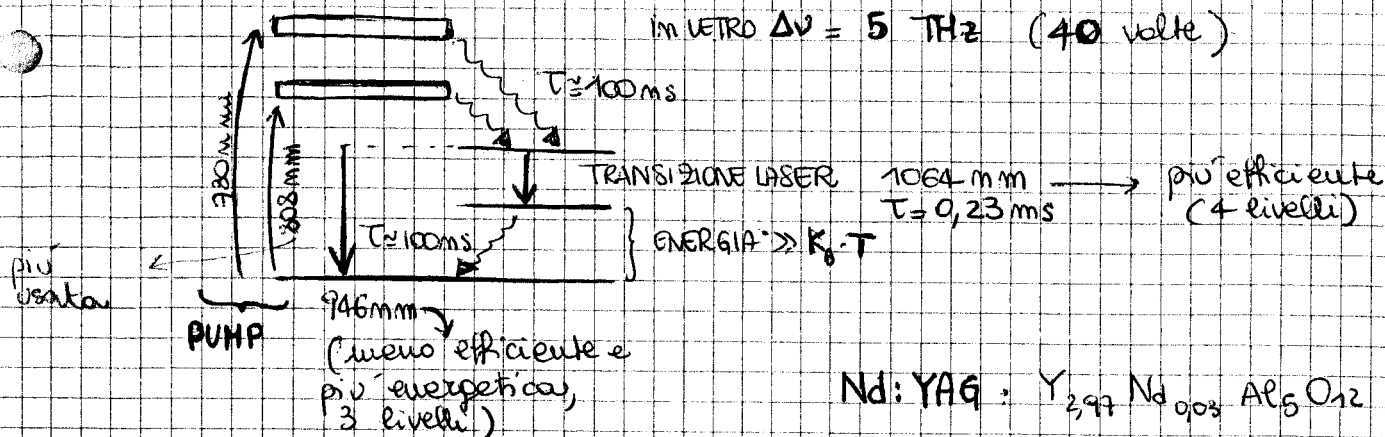
Nd: YAG: )

$$\text{Nd: } 1 = Y: 99$$

Y<sub>3</sub>Al<sub>5</sub>O<sub>12</sub>  
Yttrium Aluminate

# PROPRIETÀ LASER Nd:YAG

(4)



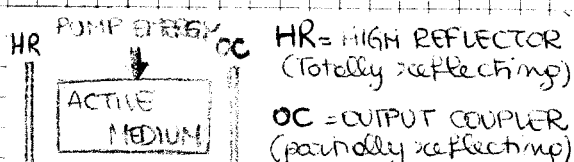
Nd: 1% atomic  
0,725% massa

- efficienza differenziata: 3-5%, Pumping  
 $> 20\%$ , luce di

$$\cdot \frac{\Delta\lambda}{\lambda} = -\frac{\Delta\nu}{\nu}$$

$\lambda \approx 1\text{ }\mu\text{m}$	$\Delta\lambda_{\text{YAG}} = 0,4\text{ mm} \Rightarrow \Delta\nu_{\text{YAG}} \approx 125\text{ GHz}$
$\nu \approx 300\text{ THz}$	$\Delta\lambda_{\text{VETRO}} = 16\text{ mm} \Rightarrow \Delta\nu_{\text{YAG}} \approx 5\text{ THz}$

in regime MODE LOCKING:  $\Delta\tau_p = \frac{1}{\Delta\nu} \Rightarrow \Delta\tau_{\text{YAG}} = 8\text{ ps}$   
 $\Delta\tau_{\text{VETRO}} = 200\text{ fs}$

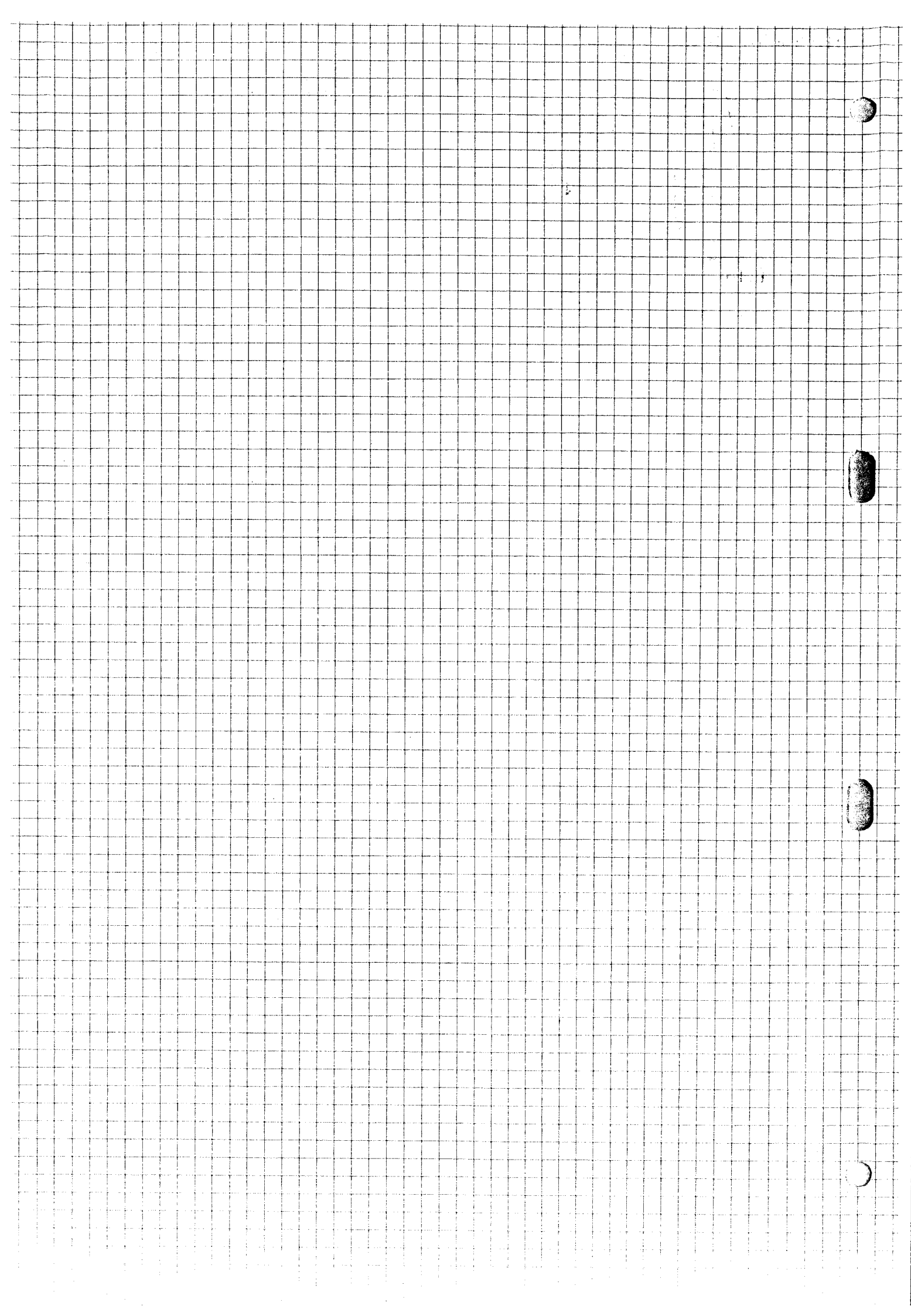


HR = HIGH REFLECTOR  
(Totally reflecting)  
OC = OUTPUT COUPLER  
(partially reflecting)

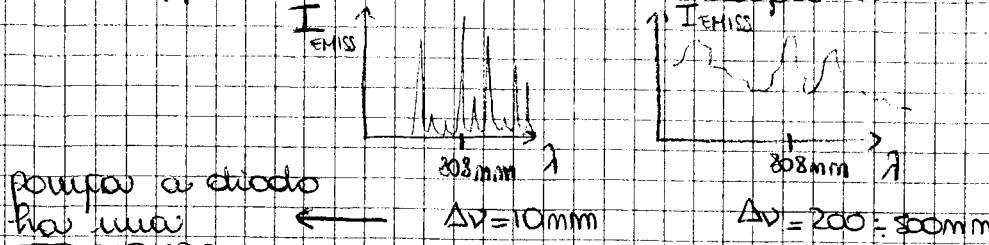
- GROUND STATE
- POPULATION INVERSION
- SPONTANEOUS EMISSION  $\rightarrow$  START OF STIM. EMISSION
- STIM. EMISSION IN CRESCITA
- STIM. EMISSION COMPLETA: GENERAZIONE FASCIO LASER CERCHIO

quantum  
fotn.

OC: ha basso accopp.  
piccolo buco < fascio  
che ha basso guadagno  
per le AN che si estendono

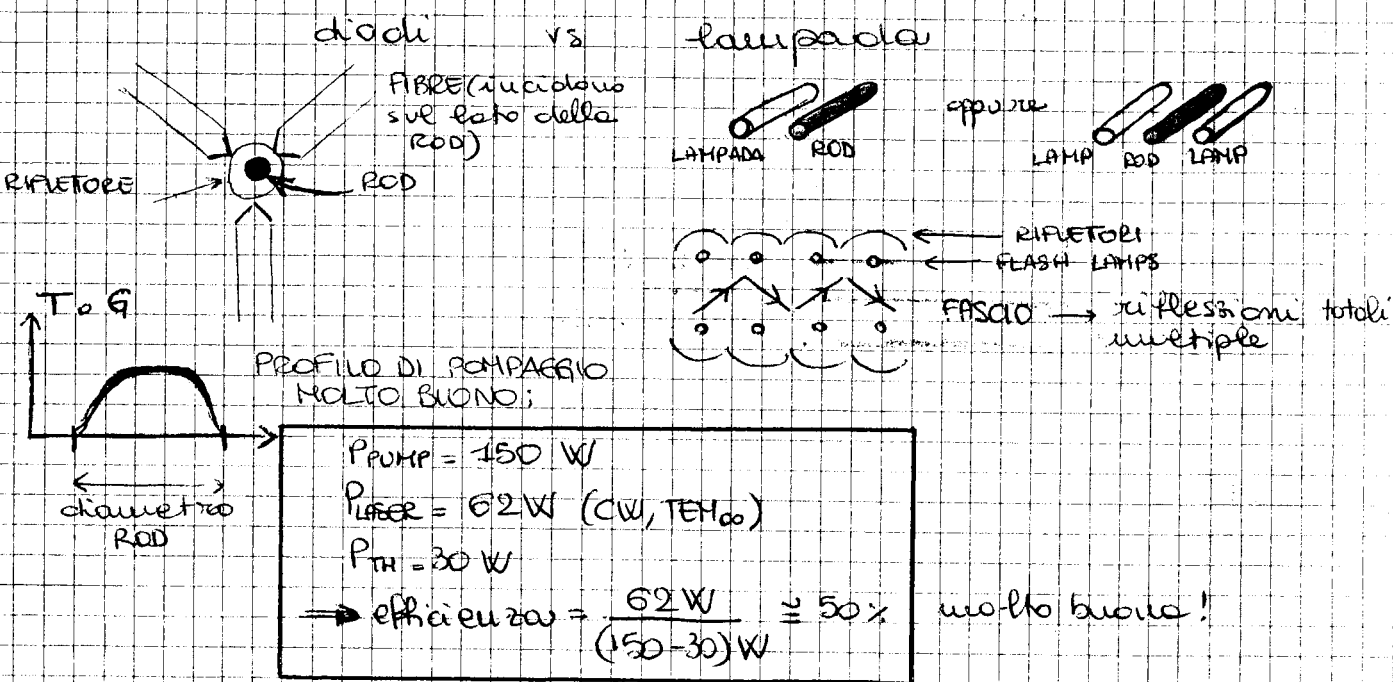


## → POMPAZIO OTTICO: diodi vs lampada

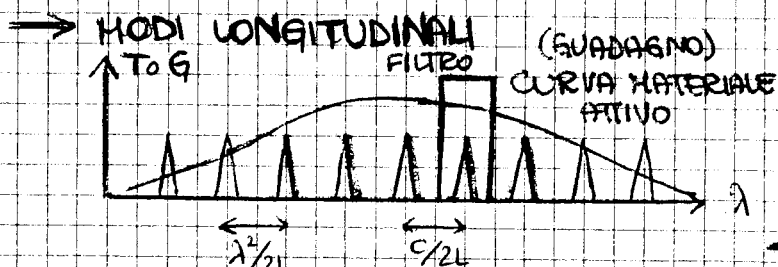


- l'eu. di pompa non assorbita interamente (può convertirsi in pot. laser) produce calore in eccesso.
- calore riduce rfr. e quindi la precisione  $\lambda$  di emissione.
- può causare danni irreversibili (lente termica).

## GEOMETRIE DI POMPA: trasversale in entrambi i casi



## → MODI LONGITUDINALI



il guadagno dovrebbe essere zero solo  $\nu$  delle transizioni:  $\nu = E_2 - E_1$  ma ciò succede solo per un atomo singolo isolato e fermo. Se ho più atomi si creano bande di energia (con profilo gaussiano) diverse ai livelli  $E_1$  e  $E_2$ , per questo ho una BANDA DI GUADAGNO.

## MODI DEL RISONATORE:

distanza in freq:  $c/2L$   
ma le cui posizioni in  $\lambda$ :  $n_{\lambda}$

→ IL LASER NON HA SINGOLO MODO DI OSCILLAZIONE: POSSONO OSCILLARE SIMULTANEAEMENTE TUTTI I MODI LONGITUDINALI CON GUADAGNO SUFFICIENTE (tipicamente quelli vicini al picco di guadagno) (MLM)

## ) → SELEZIONE SINGOLO MODO LONGITUDINALE

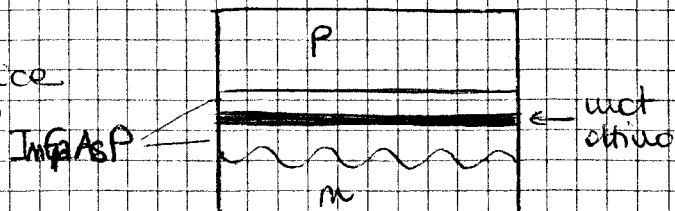
sarà un filtro ottico passa banda con  $\Delta V < c/2L$  (e trasmiss. = 1)  
es: Fabry-Pérot etaloni in cavità con  $\Delta V_c < c/2L_{LASER}$

$$\Delta V_F \gg \text{FWHM}$$

• LASER A SEMICONDUTTORE (necessari perché il laser è diodo, pur avendo FSR grande hanno G basso)

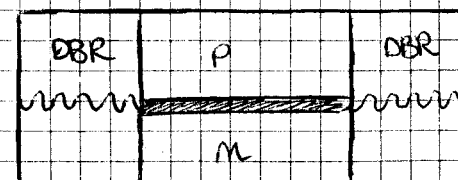
### - DFB (distributed feedback laser)

- modulazione dell'indice di rifrazione secondo una griglia longitudinale → grating
- singolo modo longitudinal
- instabile per variazioni di indice dovute al riscaldamento causato dal pumpaggio (corrente)



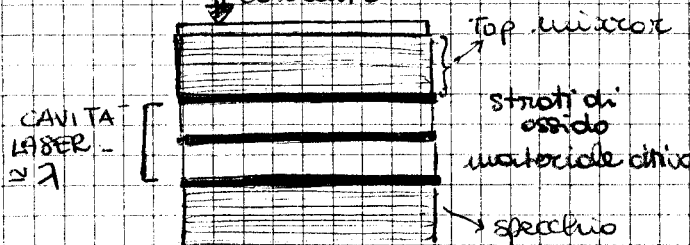
### - DBR (distributed Bragg reflector)

- più stabile perché pumpaggio selettivo
- singolo modo



### - VCSEL (Vertical cavity Surface Emitting Laser).

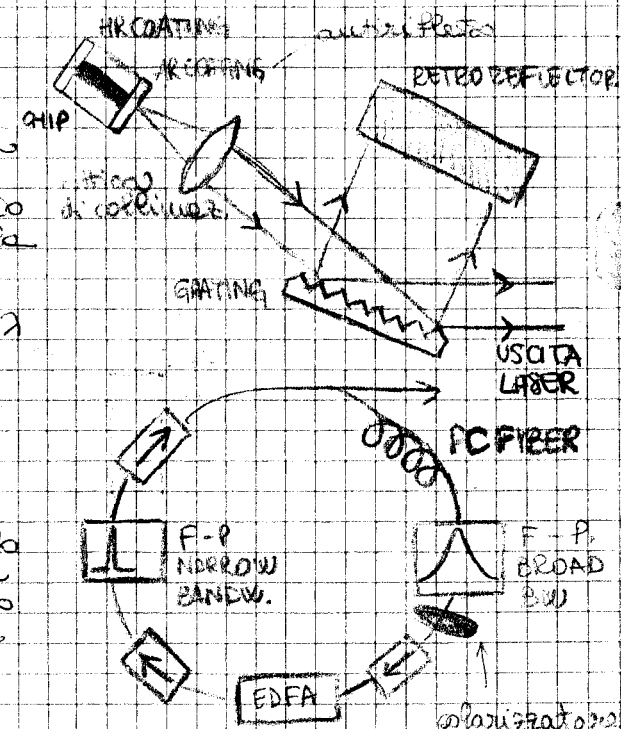
- singolo modo
- strato di materiale attivo oltre verso spesso circa  $\lambda$ .
- corrente



DFB, DBR, VCSEL } singolo modo lento grazie al filtro spettrale nel risonatore ottico monolitico.

### - ECLD (laser a cavità estesa)

- 1,5 μm narrow line width
- luce non riflessa all'interno della cavità semiconduttoro-ottica grazie a un coating antiriflesso, con uno specchio posto più avanti possiamo controllare la lunghezza della cavità.
- retroriflesso solo per λ (a cui +)
- muovendo il retroriflesso faremo del FILTRO PASSA BANDA)

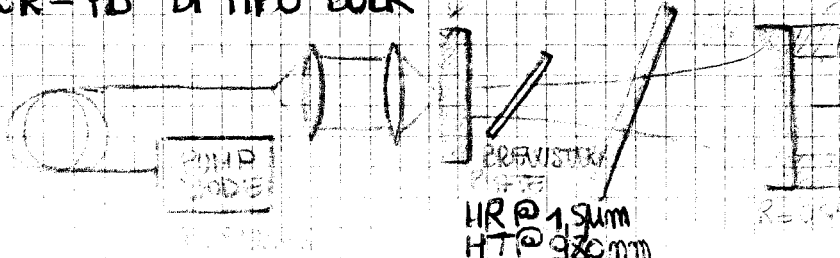


### - EDFA (laser a erbio in fibra)

- 1,5 μm narrow line - bandwidth
- retroriflesso realizzato con un anello isolatore ottico: diodo ottico che consente alle luce di viaggiare in un solo verso
- fabry-perot (uso di bande larghe e una o due bande strette)
- polarizzatore → indispensabile per avere un'unica freq.
- Pump diode  $\lambda = 980 \text{ nm}$

$$\begin{aligned} \text{HT} @ 1,5 \text{ μm} \\ \text{HR} @ 980 \text{ nm} \end{aligned}$$

### - ER-YB DI TIPO BULK



PZT ad ANELLO  
da ceramica  
monolitico  
polarizzato  
e reticolato  
con 3 angoli.

## LASER IMPULSATI

### - Q-SWITCHING:

- al basso Q si possono ottenere  $\Delta N$  alti  $\gg \Delta N_{TH}$
- tutta l'energia di pompa accumulata nel materiale attivo viene liberata quando il risonatore è allineato (quando Q è alto)
  - meccanico  $\rightarrow 1 \text{ Hz}$  (giant pulse)
  - acusto ottico  $\rightarrow$  sfrutta diffrazione alla Bragg:  $10 - 100 \text{ kHz}$  (basso guadagno)
  - elettrico ottico  $\rightarrow$  polarizzatore e cella di Pockels:  $1 \text{ kHz}$  (alto guadagno)  $\rightarrow$  switch è ideale (alto guadagno) ma è costoso perché è difficile calibrare la tensione su carico elettronico.
- intervallo  $T_p$  tra i impulsi successivi dipende dello switch
- durata impulso  $\Delta T_p$ : dipende del materiale attivo ( $10 \text{ ns}$ ) **GW**
- duty cycle è piccolo  $\Rightarrow$  DC =  $\Delta T_p / T_p \Rightarrow$  potenza di picco alta (**MW**)

### - MODE LOCKING:

- più modi longitudinali appena in fase

impulsi più energetici  
e + breve

$$T_p = 2L/c \text{ round trip}$$

$$f_{rep} = 1/T_p \quad (100 \text{ MHz} - 10 \text{ GHz})$$

$$\Delta T_p = 1/B_{laser} = 10 \text{ ps} - 100 \text{ fs}$$

Pacco alto (anche > GW)

### - LASER MODE-LOCKING A fs:

Applicazioni:

- ricercas mediche
- OCT (optical coherence tom.)
- spettroscopia
- Metrologia
- Micromachining

$$T_p = L_f/c \quad f_{rep} = 1/T_p \quad (250 \text{ MHz})$$

$$L_f = T_p \cdot c = T_p/2 = 1,2 \text{ m}$$

$$\Delta T_p = 1/B_{laser} = 30 \text{ fs}$$

$$P_{ave} = 10 - 400 \text{ mW}$$

$$P_{pico} = P_{ave} \cdot \frac{T_{rep}}{T_p} = 100 \text{ kW}$$

$$P_{avg} = 100 \text{ W}$$

{ He-Ne :  $\lambda = 0,632 \mu\text{m}$

$$P_{av} = 10^{-3} - 10^{-2} \text{ W}$$

dimensioni:  $0,1 - 1 \text{ m}$

$m = 0,1$

Nd:YAG :  $1,064 \mu\text{m}$

$$= 200 \text{ W (CW)}$$

1 m

$1 - 10$

pumpa a diodo  $\rightarrow$   $= 10^3 \text{ W (picco)}$

0,1 m

33

CO<sub>2</sub> :  $10 \mu\text{m}$

$$= 10^4 \text{ W (CW)}$$

1 m

$10^{-20}$

$$= 10^3 - 1 \text{ W (picco)}$$

SC :  $0,45 - 1,6 \mu\text{m}$

$$= 10^{-3} - 1 \text{ W}$$

$10^{-3} \text{ m}$

50

• diodi laser  $\rightarrow$  efficienza elevissima su  $\Delta \lambda$  ampio  $\rightarrow$  usato come pompa

• laser a SC  $\rightarrow$  regolazione fine (se cambia materiale cambia  $\lambda$ )

• Nd:YAG  $\times 2 \rightarrow$  doppio in freq (emiss fotoni a freq doppia cioè nel verde)

# CARATTERISTICHE E APPLICAZIONI DELLA SORGENTE LASER

- MONOCROMATICITÀ  $\Delta\nu_{LASER} = (10^{-6} - 10^{-9}) \cdot \Delta\nu$  LAMPADA SCELTA
- BRILLIANZA  $B = P/A_S2$  ( $B_{LASER} = 10^5 - 10^8 \text{ W/m}^2 \cdot \text{sr}$ )
- STABILITÀ IN AMPIEZZA ( $\Delta P/P \approx 10^{-9}$ ) E IN FREQUENZA ( $\Delta\nu/\nu \approx 10^{-14}$ )
- IMPULSI ULTRACORTI CON ELEVATA POT. DI PICCO ( $10^{-15} \text{ s}$ ,  $10^{15} \text{ W}$ )
- DIMENSIONI ( $1 \mu\text{m} \div 1 \text{ nm}$ )
- PROPAGAZIONE IN SPAZIO LIBERO O IN FIBRA
- COMMERCIALIZZAZIONE: costi e sussidiari ridotti

Per l'uso:

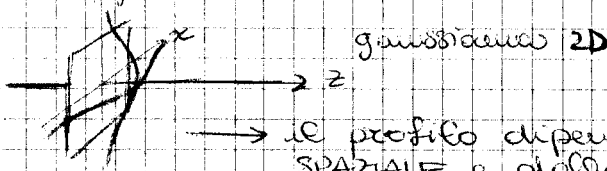
- qualità spaziale fascio  $\rightarrow$  COERENZA SPAZIALE
- qualità spettrale (monocromaticità)  $\rightarrow$  COERENZA TEMPORALE
- lunghezza d'onda
- Pot. ottico o energetico dell'impulso
- SOP (state of polarization)  $\rightarrow$  POLARIZZAZIONE
- APPLICAZIONI: (meteologico, interferometria, telemetria, comunicazioni ottiche, lavorazioni industriali stampanti e plotter, misure ottiche in sorgere e settore OPTOELETTRONICO)

## PROPRIETÀ DEI FASCI LASER

$$E = E_0 \exp\left(-\frac{x^2}{w_0^2}\right) = E_0 \exp\left(-\frac{x^2+y^2}{w_0^2}\right)$$

$$I = I_0 \exp\left[-2\left(\frac{x^2+y^2}{w_0^2}\right)\right]$$

PROFILO TRASVERSALE (profilo xy trasverso  
della direz. di propagaz. z)



gaußsche 2D

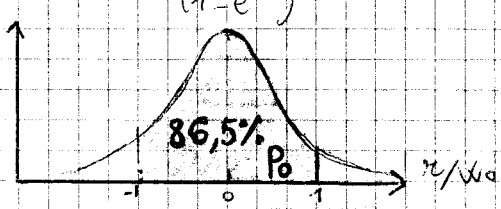
$\rightarrow$  il profilo dipende dal modo  
spaziale e dalla sua larghezza

MODO FONDAMENTALE TEMPO SIMMETRICO  
lungo x e y con profilo gaußiano

$w_0$  = BEAM WAIST (dimensione di waist)

$$w_0 : \beta / E_0 = e^{-1}$$

$$13,5\% ; I_0 = e^{-2}$$



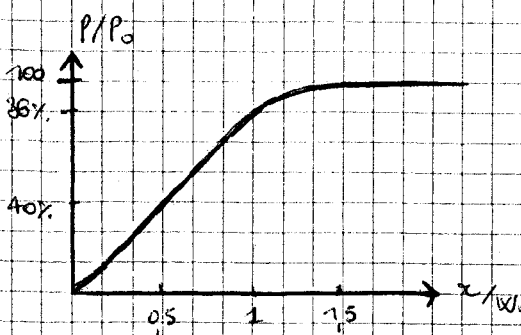
$P(S) = P(x) = \int I d\Sigma =$   $\rightarrow$  potenza = [intensità] su una superficie di  
raccordo  $S = \pi x^2$  (cerchio)

$$P(x) = I_0 \int \exp\left[-2\left(\frac{r^2}{w_0^2}\right)\right] 2\pi r dr \quad \beta = \frac{2\pi^2}{w_0^2} \quad d\Sigma = \frac{r^2}{w_0^2} dr \rightarrow dP = \dots \quad P_0 = \frac{I_0 \pi w_0^2}{2}$$

$$P(x) = P_0 \int e^{-\beta} d\beta = P_0 \left[ 1 - \exp\left(-\frac{2x^2}{w_0^2}\right) \right]$$

DENTRO UN CERCHIO DI RICCOGLIERE  $x = w_0$  CADE  $(1 - e^{-2}) = 36\%$  DI TUTTA LA POTENZA  $P_0$  CONTENUTA NEL MODO

$w_0$  = DIMENS. DI MACCHIA STANDARD O SPOT SIZE NELL'



es. fotodiode come superficie di raccolta ⑦  
se  $x < 2w_0 \rightarrow$  sto diaframmante

### MODI DI ORDINE SUPERIORE

$$TEM_{\ell,m} \rightarrow E = E_0 H_\ell \left( \frac{\sqrt{2}x}{w_0} \right) H_m \left( \frac{\sqrt{2}y}{w_0} \right) \exp \left( -\frac{x^2+y^2}{w_0^2} \right)$$

: profilo del campo descritto dal PRODOTTO DI DUE POLINOMI DI HERMITE nelle direzioni  $x$  e  $y$  e di UNA GAUSSIANA di simmetria radiale.

$$H_0(x) = 1$$

$$H_1(x) = 2x$$

$$H_2(x) = 4x^2 - 2$$

$$H_3(x) = 3x^3 - 12x$$

$$H_4(x) = 16x^4 - 48x^2 + 12$$

→ ordine pari → simmetrici pari

" " dispari → " " dispari

→ l'ordine del polinomio dà l'ordine del modo  
l'ordine del polinomio dà il numero di zeri che  
tagliano l'onda gaussiana

→ anche per modi di ordine superiore:

$w_0 = \text{SPOT SIZE} =$  raggio del cerchio che contiene  
il 86,5% dell'intensità totale del modo

ordine elevato → aumenta  $w_0$

⇒ peggiora la qualità del fascio.

$TEM_{\infty}$  È DIFFRACTION LIMITED

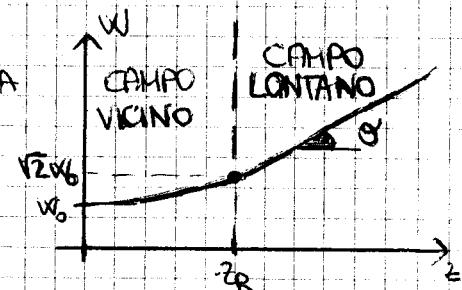
### PROPAGAZIONE LIBERA

$$\bullet w^2 = w_0^2 + \left( \frac{\lambda z}{\pi w_0} \right)^2$$

ALLARGAMENTO DI MACCHIA  
DIVERGENZA

$$w = w_0 \sqrt{1 + \left( \frac{z}{z_R} \right)^2}$$

$$z_R = \frac{\pi w_0^2}{\lambda} \quad \text{DISTANZA DI RAYLEIGH}$$



DUE REGIONI DI LAVORO:

$z \ll z_R$  : CAMPO VICINO e FASCIO CONCENTRATO  $w \approx w_0$

$z \gg z_R$  : CAMPO LONTANO e FASCIO LINEARMENTE DIVERGENTE  $w = w_0 \frac{z}{z_R} \approx z w_0$

$$w = w_0 \cdot \frac{z \lambda}{\pi w_0^2} = z \cdot \frac{\lambda}{\pi w_0} = z \cdot \theta$$

$$\theta = \frac{\lambda}{\pi w_0} \quad \text{ANGOLI DI DIVERGENZA}$$

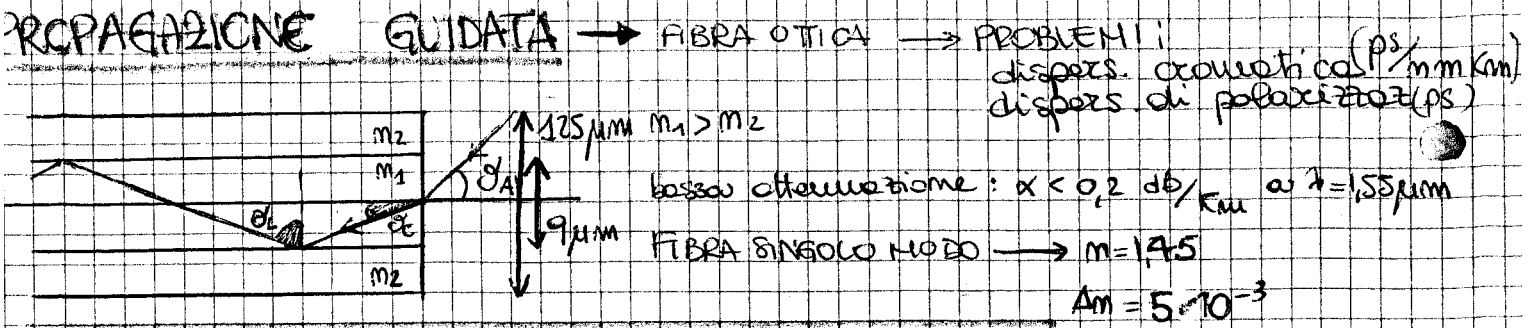
macchia grande diverge poco e viceversa.

$\theta$  è minima per fascio GAUSSIANO e DIFFRACTION LIMITED

Se FASCIO MULTIMODO:  $\delta_{MM} > \delta_{DL}$  e si definisce  $M^2 = (\delta_{MM}/\delta_{DL})^2 > 1$

$M \rightarrow$  indice di qualità spaziale del fascio

$$M^2 \geq 1$$



## PROPRIETÀ DEI FASCI LASER

- RUMORE DI AMPIZZA  $\rightarrow E(t) = E_0 (1 + a(t)) \exp(-i(2\pi\nu_0 t))$

+ analisi perturbativa  $\rightarrow$  OSCILLAZIONI DI RILASSAMENTO  
 (torioz. tasso raffreddamento)

dato da: tempo di vita / fluo del livello laser / pot. in uscita del laser  
 tempo di ritorno del fotone in cavità / rapporto av. rivelatore

$$\tau_{\text{RIN}} = \left[ \frac{x-1}{T_c T_{\text{sp}}} \right]^{1/2}$$

$$x = P/P_{\text{TH}} = \text{SOPRAZOGGLIA}$$

$T_c$  = tempo di vita del fotone in cavità

$T_{\text{sp}}$  = tempo di vita del livello (decadimento spontaneo).

FREQ. DELLE OSC. E COST. DI TEMPO

NECESSARI SISTEMI DI STABILIZZAZIONE

- attiva: retroazione
- passiva: alimentati, meno rumorosa per ridurre il rumore all'origine.

se sono poco sopra soglia ho barato rumore di ampiezza

$\Rightarrow$  per fare misure seriose LASER STABILIZZATI (attivamente o passivamente)

voglio  $\tau_{\text{RIN}}$  piccolo perché la stabilizzazione risulta in questo modo più veloce (osc. considerata estinta dopo  $5\tau_{\text{RIN}}$ ).

- RUMORE DI FREQUENZA (fluttuaz. di freq. e/o fase)

$$E(t) = E_0 \exp[-i(2\pi\nu_0 t + \phi(t))] \quad \frac{1}{2\pi} \cdot \frac{d\phi}{dt} = \Delta\nu \ll \nu_0$$

$$\nu(t) = \nu_0 + \frac{1}{2\pi} \frac{d\phi_{\text{TOT}}}{dt} = \nu_0 + \frac{1}{2\pi} \frac{d\phi}{dt} = \nu_0 + \Delta\nu$$

$$\nu = nm \cdot \frac{c}{2L} \quad \Delta\nu = nm \frac{c}{2L^2} (-\Delta L) = \nu \left( -\frac{\Delta L}{L} \right) \Rightarrow \frac{\Delta\nu}{\nu} = -\frac{\Delta L}{L} \quad \Rightarrow \text{FORZE DI PENDENZA DELLA FREQ. LASER DA } L$$

N.B.: L è una lunghezza ottica, non geometrica

$\Downarrow$   
 NECESSITA SISTEMI DI STABILIZZAZIONE

# POTENZA OTICA: DEFINIZIONI E METODI DI MISURA

(8)

- $E$  CAMPO ELETTRICO [V/m]

$$\text{D). } I = \frac{E E^*}{m_0} \text{ INTENSITÀ } [\text{W/m}^2]$$

$$m_0 = \sqrt{\mu_0 / \epsilon_0} = 377 \text{ S/W}$$

- $P = \int I dS$  POTENZA [W]

IMPEDIMENTI  
NEL VUOTO

LASER

P



XP

RIVELATORE CALIBRATO

USCITA IN TENSIONE  $V_u$

$$V_u = K \times P$$

$K$  = SENSIBILITÀ

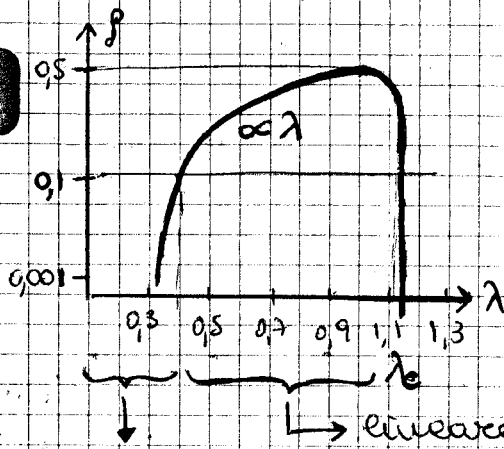
## • RIVELATORI FOTO-VOLTAICI/CONDUTTIVI

$$0,1 \mu\text{m} \leq \lambda \leq 10 \mu\text{m}$$

EFFICIENZA QUANTICA:  $\eta = \frac{\Delta N_e}{\Phi \Delta t} = \frac{n^o \text{ fotoelettroni}}{n^o \text{ fotoni incidenti}}$

$$\Phi = \text{fot/s}$$

RESPONSIVITÀ



$$R = \frac{i}{P} [\text{A/W}] \quad i = \frac{e \cdot \Delta N_e}{\Delta t} \quad P = \Phi \cdot h\nu$$

$$R = \frac{e \Delta N_e}{\Delta t \Phi h\nu} = \frac{em}{h\nu} = \frac{em}{hc}$$

$$\lambda_c = \text{lambda di cutoff} \rightarrow$$

$$h\nu > E_{gap}$$

il fotodiodo genera elettroni solo oltre una certa freq, cioè al di sotto di una certa  $\lambda = \lambda_c$

- quando  $\lambda$  è corta le impurità perdono molto, il MATERIALE ASSORBE e la luce non riesce ad arrivare alla giunzione  $\rightarrow$  taglio per  $\lambda$  corta
- FOTODIODI  $\rightarrow$  danno in USCITA UN SEGNALE DI CORRENTE

$$P = I \cdot S \Rightarrow i = \rho P \text{ (A)} \quad \text{segnale di corrente diretta} \cdot \text{proporzionale alla pot. ottica incidente}$$

fattore di proporzionalità = RESPONSIVITÀ / SENSIBILITÀ.

- FOTORIVELATORI  $\rightarrow$  USCITA IN TENSIONE (corrente amplificata e TRANSIMPedenza)

$$V = G \cdot i = G \cdot \rho \cdot P \text{ (V)}$$

segnale di rettific. proporz. alla potenza incidente, cioè su  $|E|^2$

$\rightarrow$  se il campo varia troppo velocemente il rivelatore non registra le variazioni: si vedono solo le variazioni le cui frequenze CADONO NELLA BANDA PASSANTE DEL FOTORIVELATORE

## RIVELAZIONE DIRETTA

$$E(t) = E_0 [1 + \alpha(t)] \exp[-i(2\pi\nu_0 t + \phi(t))]$$

$\downarrow$   
 $\sim \text{THz}$

$$\Rightarrow v(t) \propto E E^* = E_0^2 [1 + \alpha(t)]^2 \propto P(t) = P_0 d(t)$$

$\alpha(t), \phi(t)$  eventuali modulazioni di ampiezza e fase.

INFORMAZ. SULLA VARIAZIONE DI FASE - FASE VIENE PERSA.  
RIMANE SENSIBILITÀ ALLE VARIAZIONI DI POT. OTICA.

## RIVELAZIONE COERENCE (ETEROODINA)

2 fasci laser incidenti (frequenze modulat. ampiezza)

$$E_R(t) = E_{R0} \exp[-i(2\pi\nu_0 t + \phi(t))]$$

SEGNALE DA RIVELARE

$$E_L(t) = E_{L0} \exp[-i(2\pi\nu_L t)]$$

OSCILLATORE LOCALE (si sceglie  $\phi=0$ )

CAMPO RISULTANTE:  
lineari, polarizzati nello stesso direzione

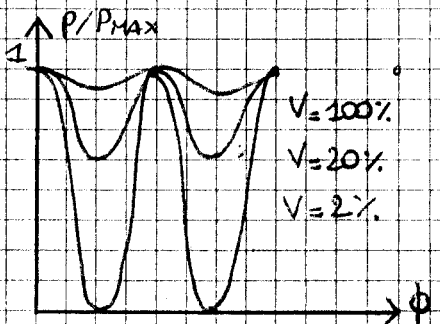
$$E(t) = E_R(t) + E_L(t) \rightarrow \text{BATTIMENTO DI DUE SEGNALI OTICI}$$

$$P(t) = \frac{E E^*}{2} \cdot S = \frac{S}{\eta_0} [E_R E_R^* + E_L E_L^* + E_R E_L^* + E_R^* E_L] =$$

$$P(t) = P_R + P_L + 2\sqrt{P_R P_L} \cos[2\pi(\nu_0 - \nu_L) t + \phi(t)]$$

costante se hanno la stessa polarizzazione.

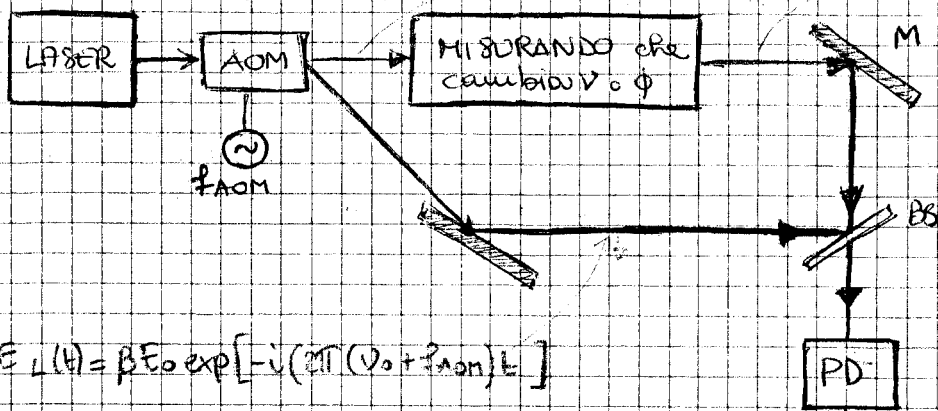
INTERFERENZA TRA I DUE CAMPI (max se fasci coerenti; min = freq.)



- $P(t)$  dipende dalla fase del segnale da rivelare
- $\nu_0 - \nu_L$  = freq. del battimento
- al variare di  $\phi$ :  $P(t)$  varia tra  $[P_R^{1/2} + P_L^{1/2}]^2$  e  $[\text{abs}(P_R^{1/2} - P_L^{1/2})]^2$
- Se  $E_{R0} = E_{L0} = E_0 \Rightarrow P(t)$  varia tra  $4P_0$  e  $0$ .
- $V = \text{VISIBILITÀ} : V = \frac{P_m - P_{m1}}{P_m + P_{m1}}$  ( $V=20\%$  se pot. interferenze = 1%)

- componente variabile della pot. ottica è funzione ciclica della fase  $\phi$  di  $E_R$
- un misuratore M in grado di ottenerne  $\phi$  può essere rivelato in modo coerente e misurato osservando le variazioni del segnale di battimento: la freq. del battimento  $\nu_f = \nu_R - \nu_L$  può variare entro una banda spettrale a radiofreq. (10-100 MHz)
- operando una rivelat. coerente si ottiene un segnale proporzionale all'angolo  $\phi$ :  $\sin[\phi(t)] \approx \phi(t)$  se  $\frac{dM}{dt}$  piccolo abbastanza t.c.  $\frac{d\phi}{dt} \ll 1$ .  
 $\Rightarrow$  il segnale  $\sin\phi \approx \phi \times \text{VARIAZIONI DI M}$   
 (in questo caso si dice che è un interfometro funzionante in quadratura)

# SCHEMA DI BATTIMENTO



$$\Rightarrow V \propto |E_{\text{Env}}|^2 = (\alpha E_0)^2 + (\beta E_0)^2 + 2\alpha\beta E_0^2 \cos[2\pi f_{\text{AOM}} t + \phi(t)] \rightarrow \text{il segnale di}$$

FOTOTENSIONE  
oscilla al freq.  
 $f_{\text{AOM}}$  e mantiene  
la dipendenza  
delle fluttuz. da  
fase introdotte  
dal MISURANDO

## LASER SAFETY.

**CLASSE 1)** uso senza protezioni

**CLASSE 2)** (solo l'VISIBLE) visione diretta pericolosa. Si cura

- evitare visione diretta continua
- evitare di dirigere il fascio sulle persone

**CLASSE 3)** A visione diretta poco pericolosa

- evitare strade, etci
- allontanarsi mediante strade, macchine/effettuare
- qualsiasi raggio laser è un'arma occhi
- evitare di dirigere il fascio su superfici riflettenti

**3) B** visione diretta pericolosa

visione luce diffusa potenzialmente pericolosa

- indossare protezioni oculari

**CLASSE 4)** visione diretta molto pericolosa

visione luce diffusa pericolosa → danni all'occhio + pericolo bruciature o incendio.

- fasci protetti da riparo
- protezioni oculari e vestiti protettivi

$$\alpha = \log_{10} \left( \frac{1}{T} \right)$$

per evitare esposizione oltre le EHP (esposiz. max permessa)

- + personale formato e preparato
- + sorveglianza medica; esami oftalmici

## APPLICATIONI INDUSTRIALI

- lavoraz. materiali → taglio, foratura, soldatura

- misure industriali, civili, ambientali  
- interfacciate

- topografia topografica + allineamento
- LIDAR per rilevamento inquinamenti
- olotrattori e point’r
- effetti speciali
- codice a barre, CD

- TLC

- applicazioni mediche
- applicazioni nei robot - rivelatori di ricerca

# ALLINEAMENTO, PUNTAMENTO E MISURE DIMENSIONALI

SORGENTI LASER  $\rightarrow$  si puo' mantenere il FASCIO BEN CALIBRATO

$\downarrow$  POOC DIVERGENZA (DIMENS. COST divedere la propria).

LIMITE: DIFFRAZIONE (Modo TEM<sub>00</sub>)

He-Ne (633 nm)

luce visibile comoda  $\rightarrow$  allineamento secondo una direz. preferenziale

$\rightarrow$  serve MINIMIZZARE LA DIMENS. DI MACCHIA su tutto l'intervallo di lavoro

$\rightsquigarrow$  VALORE OTTIMO DI BEAM WAIST ( $w_0$ ) al centro della zona di interesse.

$\rightsquigarrow$  TELESCOPIO per allargare la dim. di macchia fino al valore voluto.

## PROPAGAZIONE FASCIO GAUSSIANO

$$z \gg z_R \Rightarrow w(z) = w_0 \sqrt{1 + \left(\frac{z}{z_R}\right)^2} \approx \frac{z}{\pi w_0}$$

DIVERGENZA DIMENS. DI MACCHIA

$$\pi(z) = z \left[ 1 + \left( \frac{z_R}{z} \right)^2 \right] \approx z \left[ 1 + \left( \frac{\pi w_0^2}{z^2} \right) \right]$$

Raggio di curvatura del fronte d'onda

$x \rightarrow \infty$  in  $z=0$  e  $z=\infty$  ONDA PIANA

$x = x_{\min} = 2z_R$  in  $z=z_R$

ROC = RADIUS OF CURV.

$$x(L) = L \left[ 1 + \left( \frac{z_R}{L} \right)^2 \right]$$

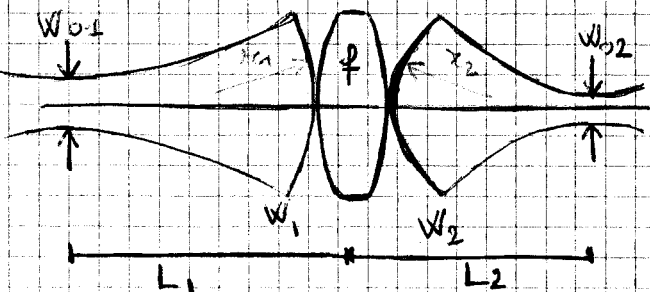
e ho capito  
fisico-sferico  
è waist e nel  
 $w_0^2 z_R$ .

$$ROC = L \left[ 1 + \left( \frac{\pi w_0^2}{L} \right)^2 \right] \Rightarrow w_0 = \left( \frac{ROC - 1}{L} \right)^{1/2} \left( \frac{\lambda L}{\pi} \right)^{1/2}$$

DEVE ESSERE  
 $L \leq ROC$

altrettanto  
avremo  
immagine

## • PROPAGAZIONE ATTRAVERSO UNALENTE



$$\frac{1}{x_1} + \frac{1}{x_2} = \frac{1}{f}$$

$w_1 = w_2$  (LENTE SOTTAUTA)

$L_1, L_2$  noti;  $f$  noto

$w_1$  noto o misurato  $\rightarrow w_2$  e  $x_2$  ricavati

$x_2$  ricavato

uso  $w_1 = w_2$

$w_2$  ricavato (prepar. gaussiana su  $L_2$ )

LA LENTE MANTIENE  $\frac{w_0}{z} = \text{cost}$

$\frac{w_2}{L_2} = \text{cost}$

$\& z \gg z_R : x_1 \approx L_1 \text{ e } L_2 \approx x_2 \Rightarrow y_1 x_1 \approx w_1 = w_2 \approx y_2 x_2$

$$\Rightarrow \frac{w_1}{w_{01}} \approx \frac{x_2}{x_1}$$

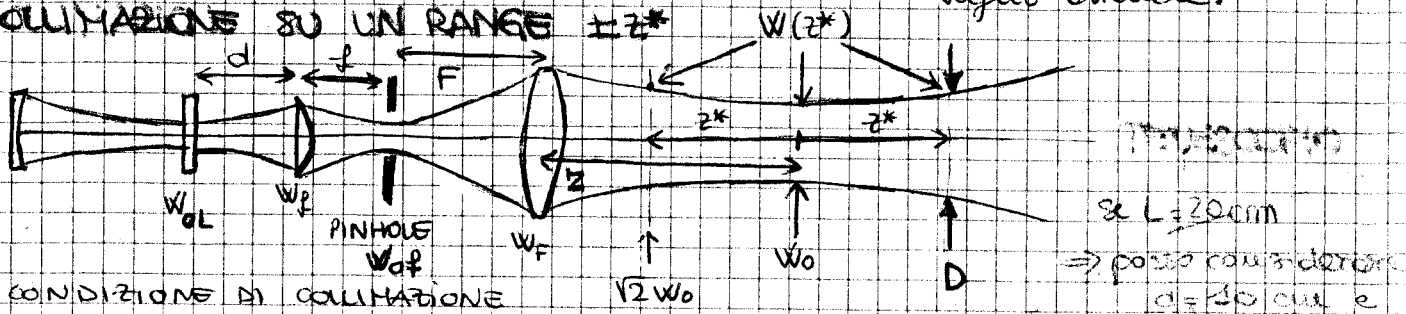
$$\Rightarrow \frac{w_{01}}{w_{02}} \approx \frac{x_1}{x_2} \approx \frac{L_1}{L_2} \Rightarrow \frac{w_{01}}{L_1} \approx \frac{w_{02}}{L_2}$$

$$\therefore m = \frac{w_{02}}{w_{01}} = \frac{x_2}{x_1} = \frac{L_2}{L_1}$$

### MAGNIFICAZIONE

regolo le posizioni  
della lente ( $L_1$  e  $L_2$ )  
e seconda di quale  
voglio ottenere.

### COLIMAZIONE SU UN RANGE $\pm z^*$



CONDIZIONE DI COLIMAZIONE

di variazione di  $w_0$  si cercare minimo  $w(z^*)$  per  $z^*$  fisso.

$$\text{si calcola } \frac{\partial w}{\partial w_0} = 0 \text{ oppure } \frac{\partial [w^2]}{\partial [w_0^2]} = 0$$

$$y = w^2, W = w_0^2$$

$$y = W \left[ 1 + \left( \frac{z - z^*}{\pi W} \right)^2 \right] = W + \frac{\lambda^2 z^*^2}{\pi^2 W^2}$$

$$\frac{\partial y}{\partial w_0} = 1 - \frac{2 z^*^2}{\pi^2 W^2} = 0 \Rightarrow W = \frac{\lambda z^*}{\pi} \Rightarrow w_0 = \sqrt{\frac{\lambda z^*}{\pi}} \Rightarrow z^* = \frac{\pi w_0^2}{\lambda} = z_R$$

$$W(z^*) = \sqrt{2} w_0$$

$$\frac{w_0}{w_{0L}} = \frac{f}{d}$$

$$\frac{w_0}{w_{0L}} = \frac{f}{F}$$

$$\Rightarrow m = \frac{w_0}{w_{0L}} = \frac{2 f}{F d} = \frac{2}{d} \cdot \frac{1}{M}$$

### MAGNIFICAZIONE SPOT

$$\Rightarrow w_0 = \frac{2}{F} \cdot \frac{1}{d} w_{0L}$$

$$M = \frac{F}{f} = \frac{w_F}{w_F} \approx 30$$

$$\frac{\Delta w_0}{w_0} = \frac{\Delta f}{f} \Rightarrow \text{è facile regolare } w_{0L}$$

### MAGNIFICAZIONE TELESCOPIO

tipicamente  $f \ll F$

per misurare la QUOTAH o l'ANGOLI  $\varphi$   
su una superficie di Euclidea.

distribuisce un fascio su ventaglio orizzontale su quote cost. variando l'angolo di rotazione.

Il fascio viene messo in bolla sfumante  
uno specchio orientato ad  $45^\circ$  su cui  
si fa incidere un fascio laser verticale  
e che dal basso a produce un fascio  
orizzontale di riferimento.

ALTA → cerchio di  $r = 20 \div 50$  m.

riferimento → la verticale = spettacolo

### He-Ne

Power = 0,5-2 mW

diametro TELES. = 50 mm = D = W(z^\*)

$$M = 20 \div 50$$

$$z^* = 10 \div 100 \text{ m o } 30^\circ$$

se c'è interferenza al centro del rivelatore ottico,  
allora i due fasci sono allineati.

# ENTRATURA DEL FASCIO SUL BERSAGLIO E FOTOCATODICO

## SENSIBILITÀ ALLA POSIZIONE

ALIMENTAZIONE

- A OCCHIO ( $A_x \approx A_y \approx 1 \text{ mm/m}$ )

- SENSORE DI CONTROREAZIONE: si usa fotodiodo che genera segnale proporzionale all'erroneo allineamento regolato minimo zerro segnale di errore.

- FOTODIODO A 4 QUADRANTI

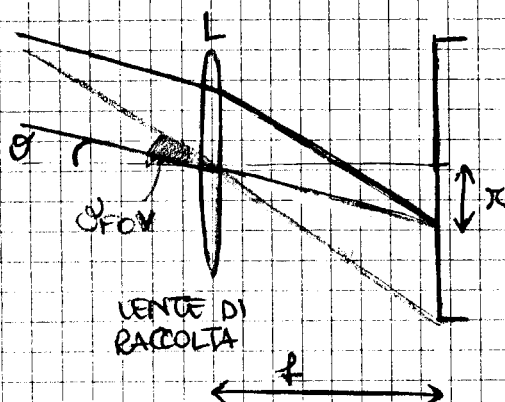
- SENSORE PSD

- CCD

- FOTODIODO COMUNE + FILTRO/MASCHERA

reticolo rotante che trasmette luce in funzione della posizione di ottica del fascio.

MISURA DIREZIONE DI UN FASCIO

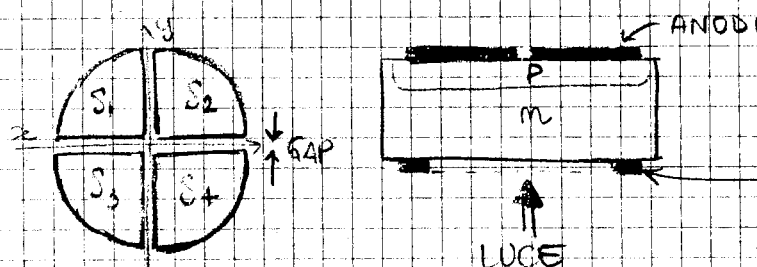


$$x = f \cdot \tan(\theta) \approx f \cdot \theta \quad \text{per } \theta \ll 1 \Rightarrow \begin{cases} x = f \cdot x \\ y = f \cdot y \end{cases}$$

$\theta_{\text{FOV}}$  = field of view  $\rightarrow$  punto immagine.

$\rightarrow$  un fotodiodo sa subire delle posizioni più vicine anche la direzione angolare del fascio: sensore nel piano focale e coordinate trasformate in DEPRESSIONE SPAZIALE.

FOTODIODO A 4 QUADRANTI



$$r_{PD} = 0,2 \div 2 \text{ mm}$$

$$\text{gap} = 5 \div 10 \mu\text{m}$$

CATODO: elettrodo curvato per far passare la luce

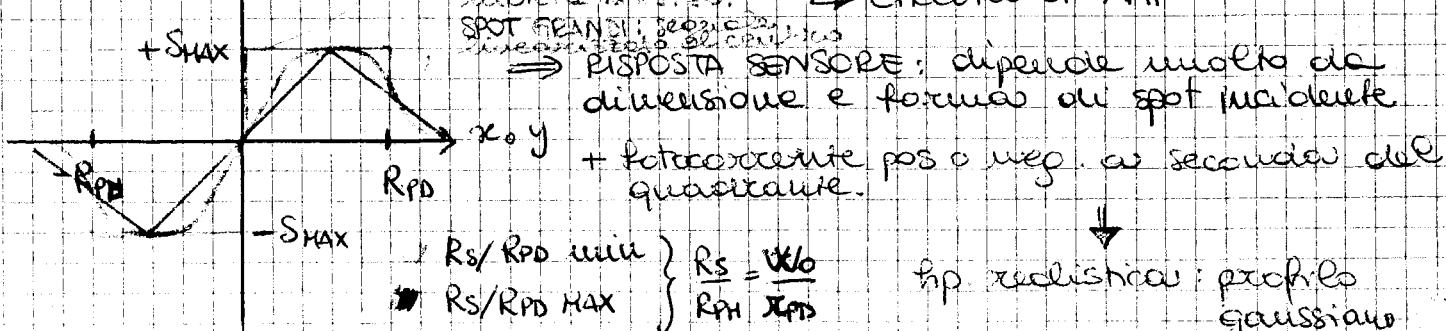
Fotoni incidenti producono nella regione di sintonia una corrente che può fluire verso 4 elettridi di raccolta (uno x settore circolare).

4 segnali  $S_1, S_2, S_3, S_4$

$\rightarrow$  SPOT PICCOLO ( $w \ll R$ ) (poi amplificati o transimpegnato e convertiti in tensione)  $\rightarrow$  CIRCUITO OP-AMP

SPOT GRANDE:  $w \gg R$  ( $w \gg R$ )

$\rightarrow$  RISPOSTA SENSORE: dipende molto da dimensione e forma del spot incidente + fotocorrente pos. a segnali di quasitutto.



hp realistica: profilo gaussiano

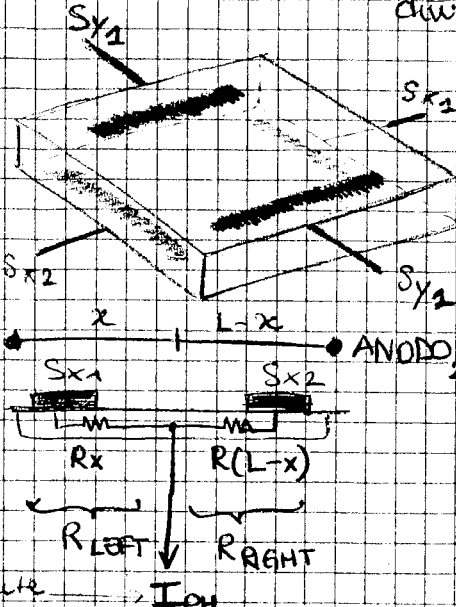
approssimaz: profilo cilindrico

ACCURATEZZA DI LOCALIZZAZIONE: dipende da:  $P_{\text{spot}}, w_0, \text{focali}, \text{gap}, r_{\text{PD}}$ .

$$\sigma_x = (1.12 + 3.1) \cdot r_{\text{PD}}$$

- FOTODIODO P-N-P → è un diodo con una terza regione p al centro.

è un diodo con una terza regione p al centro.  
è un diodo con una terza regione p al centro.



$S_{x_1}$  e  $S_{x_2}$  sono regioni p e n poco drogata e sottili per aumentare la resistività.

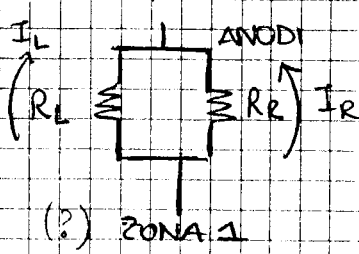
La luce incidente produce una ricchezza di carri elettronici che passa dagli elettrodi catodico agli elettrodi anodo.

→ corrente  $I_p$  divide secondo il portante (per attraversare le regioni ad alta resistività).

Le differenze tra le correnti circolanti su elettrodi analoghi formano la corrente.

corrente

$I_{PH}$



$$R_L = x \rho^*$$

$$R_R = (L-x) \rho^*$$

$$R_L + R_R = L \rho^*$$

$\rho^*$  = resistività per unità di lunghezza della regione p.

$$I_{PH} = I_R + I_L$$

$$R_L I_L = R_R I_R = I_{PH} \cdot \frac{R_L R_R}{R_L + R_R}$$

$$\left\{ \begin{array}{l} I_{x_1} = I_L = I_{PH} \left( 1 - \frac{x}{L} \right) \\ I_{x_2} = I_R = \frac{x}{L} I_{PH} \end{array} \right.$$

$$\left\{ \begin{array}{l} I_{y_1} = - I_{PH} \left( 1 - \frac{y}{L} \right) \\ I_{y_2} = - I_{PH} \frac{y}{L} \end{array} \right. \quad I_{PH} = \rho P$$

$P$  = responsività  
( $P$  deve essere cost.)

$$\rightarrow \left\{ \begin{array}{l} S_x = R (I_{x_2} - I_{x_1}) = R I_{PH} \left( \frac{2x}{L} - 1 \right) \propto x \\ S_y = -R (I_{y_2} - I_{y_1}) = R I_{PH} \left( \frac{2y}{L} - 1 \right) \propto y \end{array} \right.$$

si ottiene insensibilità a  $I_{PH}$  e a  $P$  dividendo per  $R I_{PH}$  → misura indipendente anche da  $P$  (non ho più i reticolati rettangolari su cui fare misurazioni)

### • RETICOLI

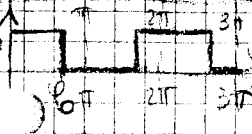
→ maschere (rotanti) con trasmissione non omogenea (parti opache - trasparenti)

→ si riesce a identificare il punto di incidenza del fascio



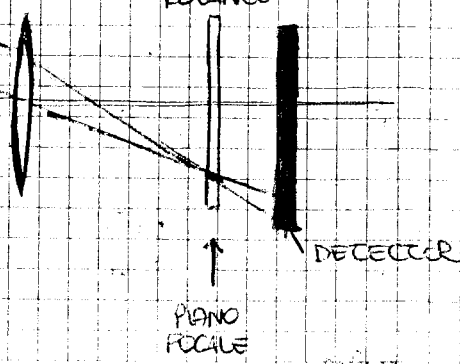
### \* FOTODIODO + RETICOLO ROTANTE :

fascio illuminante in un punto sul piano focale e il reticolo ruota davanti al piano focale facendo chopper.



Posizione 1 della sorgente ricavata mediamente dai dati sull'asse di fase tra due quadri di riferimento.

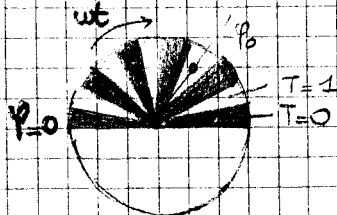
Quattro quadri proietti dal fotodiodo.



Ampiezza segnale da cui succede - piace p

Probabilmente non solo questo è vero.

\* RISING BIN → miglior attenuaz. del disturbo dato dalle SORGENTI ESCSE



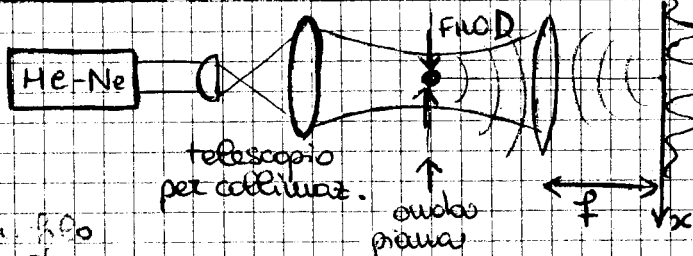
→ conteggio di piccole dell'angolo



→ rivelatore sia  $P_0$  sia  $P$ .

## MISURE:

- DIAMETRO DI FINI DA PROFILLO DI DIFFRAZIONE - effettuato con diafo = piana



- interferenze ottenute da un piccolo stop sul profilo del fascio parallelo o filo (angolo di apertura)

$f \cdot \delta_0 \rightarrow$  rettangolare ( $D$ )

$$\text{su rivelatore campo} = \frac{1}{2}(\text{rect}) = \sin c \left[ \frac{\theta}{\theta_D} \right] = \theta_D = \frac{\lambda}{D}$$

$$= \sin \pi \left( \frac{\theta}{\theta_D} \right).$$

in INTENSITÀ:

$$I(\theta) = \frac{I_0}{\pi} \sin^2 \left( \frac{\theta}{\theta_D} \right)$$

DISTRIBUZIONE ANGOLARE

→ ZERI (primi)

$$\pm \theta_D = \pm \frac{\lambda}{D} \Rightarrow x_{\text{zero}} = \pm f \cdot \frac{\lambda}{D}$$

Per misura!

misure su strumenti commerciali

10 μm (1% acc) ± 2 mm (5% acc).

misure mentre il filo scorre → aggiustamenti in tempo reale.

- DIAMETRO DI PARTICELLE (durante produzione)

LAELS: Low Angle Elastic Scattering

$$\text{campo su rivelatore} = \frac{1}{2}[\text{circ}] = \text{somb} \left( \frac{R/f}{\lambda/D} \right) = \text{somb} \left( \frac{\theta}{\theta_D} \right) \quad R = \delta f$$

in INTENSITÀ:

$$I(R) = I_0 \int_0^\infty \text{somb}^2 \left( \frac{\theta}{\theta_D} \right) \cdot \rho(D) dD$$

$$\text{somb}(x) = 2 \frac{\sin(x)}{\pi x}$$

$I(R)$  → SENSI

INTENSITÀ DI PIANO

- misura la luce diffusa da particelle in sospensione in un liquido.

- facile conoscere profilo angolare in profilo spaziale elettronico totale.

-  $I(R)$  misurato con PD scansione su CCD.

- invertendo  $I(R)$  si calcola la distribuzione dei diametri.

$\rightarrow K = \frac{1}{2}f$

# TELEMETRI OTTICI

12

## PRINCIPI DI MISURA NELLA CELEMETRIA

- **TRIANGOLAZIONE**: metodo trigonometrico.

bersaglio triangolato da due punti a distanza D su una stessa linea di base

→ misurando l'ANGOL $\alpha$  tra le 2 linee:  $L = D \approx D / \tan \alpha$

misura di distanza (o distanza) si riferisce  
 $L = \text{distanza} + \text{rall strumento} + \text{oggetto rilevato}$

- **A TEMPO DI VOLO**: misura per conteggio di intervalli di tempo.  
 (laser pulsato o CW o modulato sinusoidalemente)

$$T = \frac{2L}{c} \Rightarrow L = \frac{T \cdot c}{2} \quad 2L = \text{cammino}$$

$$\Delta t = 2\pi f_{\text{mu}} T = 2\pi f_{\text{mu}} \cdot \frac{2L}{c} \Rightarrow L = \frac{c}{2} \cdot \frac{\Delta t}{2\pi f_{\text{mu}}} = \frac{\Delta t}{2} \cdot \frac{c}{2\pi} \times \frac{f_{\text{mu}}}{f_{\text{reg}}} \quad f_{\text{mu}} - \text{freq modulata}$$

determinazione risoluzione

- **INTERFEROMETRIA**: conteggio di lunghez. d'onda ottiche.  
 fascio laser su bersaglio e rivelaz. coerente su luce di ritorno con battimento su fotorivelatore  $\rightarrow \cos(2KL)$

$$\Delta \phi = \frac{2\pi}{\lambda} \cdot 2L = 2KL \Rightarrow L = \frac{\lambda}{2} \cdot \frac{\Delta \phi}{2\pi} \propto \Delta \phi$$

conteggio in termini di  $\frac{\lambda}{2}$ ;  $\lambda_{\text{laser}}$  determina la risoluz.

$$\lambda \approx 0,5 \mu\text{m} (\text{vis})$$

$$L \text{ sicuramente } \Delta L = \frac{\lambda}{2} = 125 \mu\text{m} \quad (\text{risolvente } \Delta \phi = 2\pi)$$

$$\text{se } \Delta \phi = \pi \rightarrow \Delta L = 62,5 \mu\text{m}$$

$$\text{se } \Delta \phi = \pi/2 \rightarrow \Delta L = 31,25 \mu\text{m}$$

**TRIANGOLAZIONE** : SHORT RANGE ( $0,1 \div 10 \text{ m}$ )

Punti massimizzati con obiettivo

→ MISURE DI DISTANZA  
 - SPOSTAMENTO

**MODULAZIONE INTENSITÀ**  
 (incoerente)

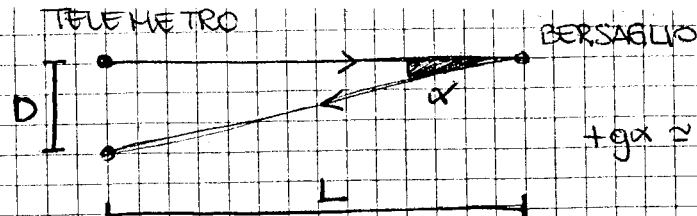
**PULSATI** : LONG RANGE ( $0,1 \div 10 \text{ km}$ )

**MOD. SINUSOIDALE** : SHORT RANGE ( $1 \div 1000 \text{ mm}$ )

**INTERFEROMETRICO** : HIGH RESOLUTION  
 (coerente) ( $\Delta L = 100 \div 10 \text{ mm}$ )  
 (fase attiva)

# TRIANGOLAZIONE

$$L = \frac{D}{\tan \alpha} \approx \frac{D}{\alpha}$$

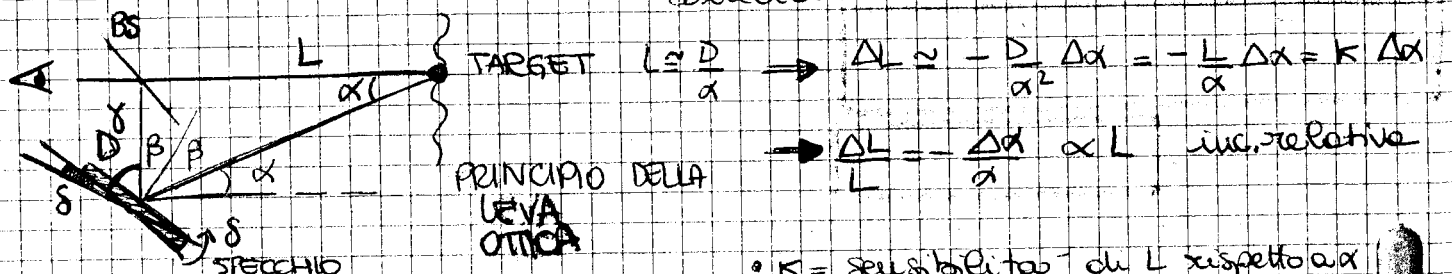


$$\tan \alpha \approx \alpha \text{ se } \alpha \ll 1$$

$\frac{\Delta \alpha}{\alpha} \uparrow$  se  $\alpha \downarrow \Rightarrow$  misura poco accurata o grande distanza.

acc. scorsa se  
 $\alpha < 10 \text{ mrad} = 0.57^\circ$

- TRIANGOLATORE OTTICO PASSIVO  $\rightarrow$  lo specchio viene fatto ruotare finché immagine riflessa e diretta coincidono: si misura poi  $\alpha$ .



$$\mu(L) = \sigma(L) = \frac{\Delta L}{\sqrt{2}} \text{ inc. sull'misura quantizzata}$$

$$\gamma + \beta = 90^\circ$$

$$1-3 \rightarrow \beta + \delta = 45^\circ$$

$$\alpha + 2\beta = 90^\circ$$

$$2 \rightarrow \beta + \frac{\alpha}{2} = 45^\circ$$

$$\alpha - \delta = 45^\circ$$

$$\Rightarrow \delta = \frac{\alpha}{2}$$

prestazioni buone se

$D/L$  non è troppo piccolo

$\Rightarrow$  range medio - breve

con CCD (triang. ottico) migliora!

•  $K = \text{sensibilità di } L \text{ rispetto a } \alpha$

•  $\Delta L = \text{errore}/\text{incertezza}/\text{risoluz. assoluta}$ .

•  $\Delta L$  peggiora se  $L \uparrow$

•  $\frac{\Delta L}{L}$  non è cost.

$\rightarrow$  **RISOLUZIONE/ACCURATEZZA:**  
della misura dipende da  
dai sis./acc di determinazione  
di  $\alpha$

goniometro a vite micrometrica:  $\Delta \alpha = 3 \text{ mrad}$   
encoder angolare  $\Delta \alpha \approx 0.1 \text{ mrad}$

$$L_{\min} = 1 \text{ m} \quad L_{\max} = 100 \text{ m}$$

$$|| \qquad ||$$

$$D = 10 \text{ cm} \quad D = 1 \text{ m}$$

$$\alpha = 0.1 \text{ mrad} \quad \alpha = 0.01 \text{ mrad}$$

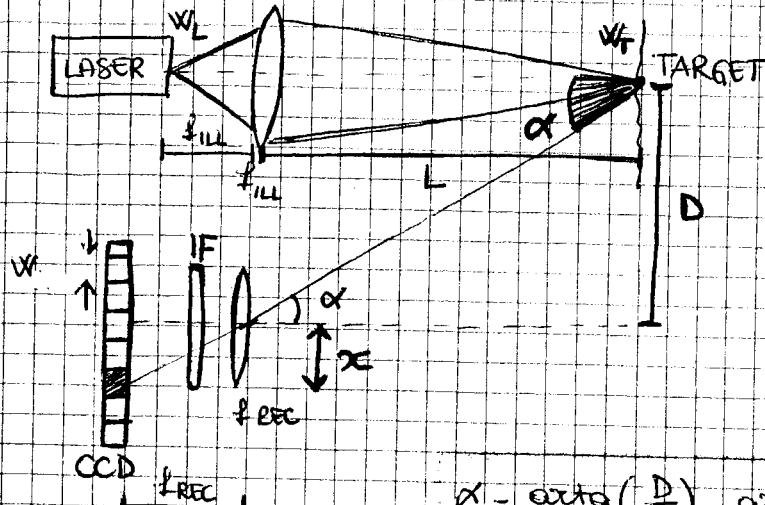
$$\frac{\Delta L}{L} = 3\% \text{ vite} \quad \frac{\Delta L}{L} = 20\% \text{ vite}$$

$$= 0.1\% \text{ encoder} \quad \frac{\Delta L}{L} = 1\% \text{ encoder}$$

$$(\Delta \alpha \text{ vite} = 3 \text{ mrad})$$

$$(\Delta \alpha \text{ encoder} = 0.1 \text{ mrad})$$

## • TRIANGOLATORE OTICO ATTIVO! (CCD)



$L = \frac{D}{x}$  distanza misurata come angolo

$f_{REC} = \frac{x}{\alpha}$  conversione angolo - spostamento.

$$\rightarrow x = \alpha \cdot f_{REC} = \frac{D}{L} \cdot f_{REC} \propto \frac{1}{L} \Rightarrow L = \frac{D}{x} f_{REC} \Rightarrow \Delta L = -\frac{D}{x^2} f_{REC} \Delta x$$

RISOLUZIONE  $\Delta x$  SU CCD LIMITA LA RISOLUZIONE  $\Delta L$  E  $\Delta x$ .

$$\leftarrow \frac{\Delta L}{L} = -\frac{\Delta x}{x} = -\frac{\Delta d}{d} \text{ come triangolo latore passivo!}$$

se le lucchette laser si estendono su più pixel si INTERPOLA SU PIÙ PIXEL e si RISOLVE anche LA FRAZIONE DI PIXEL  $\rightarrow$  migliorano  $\Delta x$  e  $\Delta L$ .

- laser VIS  $\rightarrow$  CCD al silicio (sensibile nel VIS, economico, reperibile)
- stabilità quando un PIXEL È SUFFICIENTEMENTE ILLUMINATO  
es.  $SNR = 1$  o  $SNR = 10 \rightarrow$  foto corrente = foto corrente (quantizzaz., rumore segnale) = rumore (re. elettronico rivelatore, background)
- es. segnale porta uscita al livello  $\neq 0$
- es. segnale  $> 1/100$  dinamica/ picco.
- pot. ottico su 1 pixel = intensità ottica dB = intensità dinamica

AREA PIXEL

$$I(x) = I_0 \exp(-2x^2/W_{REC}^2)$$

distanza da  $x=0$  (picco) spostamento da esso.

$$\Rightarrow I(x) = \frac{1}{M} I_0 \Leftrightarrow \frac{1}{M} = e^{-2x^2/W_{REC}^2} \Rightarrow \ln(M) = 2x^2/W_{REC}^2 \Rightarrow x = \sqrt{\frac{\ln(M)}{2}} W_{REC}$$

$x$  = dimensione spot

$W_{REC}$  corrisponde a un certo n° di pixel  $\rightarrow$  x espresso come numero di pixel

IF = filtro interferenziale: rimuove il disturbo ciclo della luce ciasciuale. 13

$\rightarrow$  si eliminano parti in movimento  
 $\rightarrow$  risposta rapida, accurata, ripetibile.

$\rightarrow$  a vel VIS per semplicità:  
(He Ne, LD, Nd:YAG x2)

$\rightarrow$  misuraz.: sensore di posizione ottica per determinare  $\alpha$   
(2Q, PSD, CCD)

quantizzazione:  $\left(\frac{1}{M} = \frac{1}{10}\right) \rightarrow \frac{x}{W_{REC}} = \left\lceil \text{lu}(M) \right\rceil \geq 1,1$

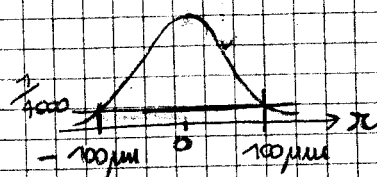
$2^{12} = 4096$  rivelati ( $x$  12 bit)

$\frac{1}{M} = \frac{1}{4096} \approx \frac{1}{4000} \Rightarrow \frac{x}{W_{REC}} = \left\lceil \frac{\text{lu}(4000)}{2} \right\rceil \geq 2 \Rightarrow x = 2W_{REC} = 100 \mu\text{m}$

$\Rightarrow \text{diametro spot} = 200 \mu\text{m}$   
(20 pixel)

dal centro della gauss.  
illumino 10 pixel

$$\frac{100 \mu\text{m}}{10 \mu\text{m}} = \frac{x}{W_{REC}} = 10$$



rumore di fondo:  $\frac{1}{M} = \frac{1}{100}$  pixel.

$\frac{x}{W_{REC}} = \left\lceil \frac{\text{lu}(100)}{2} \right\rceil = 1,5 \Rightarrow x = 1,5 W_{REC} = 75 \mu\text{m} \Rightarrow \text{diametro spot} = 150 \mu\text{m}$   
(15 pixel)

• POSIZIONE SPOT: - media pesata dei p.ti della gaussiana  
eliminando rum. fondo  
- regressione ai minimi quadrati.

ben illuminati  
non ha ad es.  
 $\Delta x = 0,1 \mu\text{m}$   
= 1 mm.

• UNITÀ ALL'ACCURATEZZA: dati dai rumore rivelatore  
luce esterna  
rumore shot  
corrente di buio  
rum. elettronico.

• ESPOSIZIONE  $x_{MAX} = \frac{1024 \cdot 10 \mu\text{m}}{CCD} \cong 1 \text{ cm}$

$$\frac{\Delta x}{x_{MAX}} = \frac{\Delta x}{x_{MAX}} = -\frac{\Delta L}{L} \Rightarrow \Delta L = \frac{\Delta x}{x_{MAX}} \cdot L \text{ min} = \frac{1 \mu\text{m}}{10 \mu\text{m}} \cdot 10 \text{ m} =$$

$$\Delta L = 1 \text{ mm} \quad (\text{per } L = 10 \text{ m})$$

es.  $D = 20 \text{ cm}$ ;  $f_{REC} = 25 \text{ cm}$ ,  $L = 1 \text{ m}$

$$x = 25 \mu\text{m} \quad x_{CCD} = 10 \mu\text{m}$$

$$x = \frac{D}{L} \cdot f_{REC} = 25 \text{ mm}$$

$$\text{Se risolvo } \frac{\Delta x}{x} = \frac{W_{REC}}{x} \cdot \frac{\Delta L}{L} = 4 \cdot 10^{-3}$$

$$\Rightarrow \Delta L = 4 \cdot 10^{-3} \text{ m} = 400 \mu\text{m}.$$

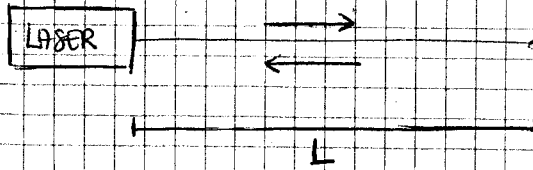
$$\Rightarrow \Delta x = \frac{\Delta L}{L} \cdot x = \frac{400 \cdot 25}{1000} = 10 \mu\text{m}$$

car. scintille CCD  
VTS 5 mrad  
errore 100 μm

→ più la d. di messa più

# TELEMETRI A TEMPO DI VOLO

14



$$T = \frac{2L}{C} \Rightarrow L = \frac{TC}{2}$$

$$\Delta L = \Delta T \cdot \frac{C}{2} = \Delta T \cdot \frac{T}{T} \cdot \frac{C}{2}$$

$$\Rightarrow \frac{\Delta L}{L} = \frac{\Delta T}{T}$$

$\Delta L$  è cost. dipende da come regola lo strumento e da  $\Delta T$  che si può risolvere.

$$\Delta L = 1\text{m} \quad \Delta L = 1\text{mm}$$

$$\Rightarrow \Delta T = 7\text{ ms} \quad \Delta T = 7\text{ ps}$$

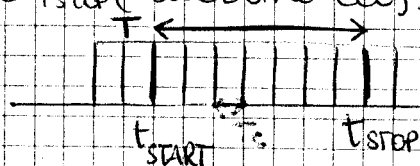
LASER Q-SWITCHING  
O MODE LOCKING.

$$T \leq \Delta T$$

$$B \approx 1/T$$

per risolvere  $\Delta T$   
occorre un impulso  
di durata  $T \leq \Delta T$   
ma anche un'elettroni-  
ca con banda  
di risoluzione  $B \approx 1/T$

MISURA: contatore elettronico che misura  
il tempo tra  $t_{\text{START}}$  (lancio impulso)  
e  $t_{\text{STOP}}$  (ricezione eco)  $\rightarrow$  posizione impulsi  
su quei tempi dati  
da DISCRIMINATORE  
DI SOGLIA  
 $\rightarrow t$  (trigger)



RISOLUZIONE  $T_c$

$$\text{INCERTEZZA } u_q = \frac{T_c}{\sqrt{12}} = 0.7$$

INCERTEZZA: se la durata su  $t_{\text{START}}$  e  $t_{\text{STOP}}$  (quantiZZAZ.)

$$= \sqrt{2u_q^2} = \sqrt{\frac{2T_c^2}{12}} = \frac{T_c}{\sqrt{6}}$$

• se  $t_{\text{START}}$  fa partire il clock con periodo  $T_c$   
allora  $u_q(t_{\text{START}}) = 0 \Rightarrow u_q(T) = u_q(t_{\text{STOP}}) = \frac{T_c}{\sqrt{12}}$

• se  $T_c$  è molto breve, altre cause preoccupano sull'inc.  
di quantizzazione:  
- rimuovere ampiezza al trigger  $\rightarrow$  con ricevere uno  
meglio risolto.  
- su impulsi brevi.

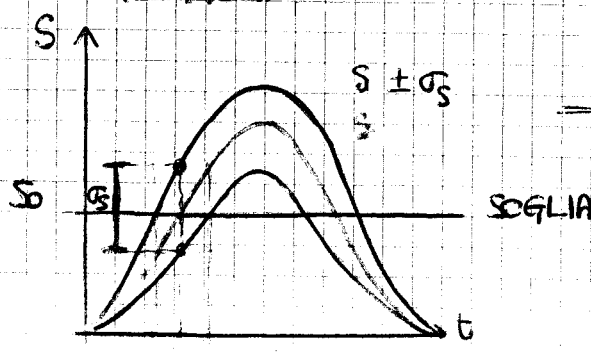
dati dai rumori  
elettronici del  
circuito e  
rumori di ampiezza  
su segnale inviato

VARIANZA:  $\sigma^2(T) = \sigma^2(t_{\text{START}}) + \sigma^2(t_{\text{STOP}}) \approx \sigma^2(t_{\text{STOP}})$

prevede  $\sigma(t_{\text{STOP}})$   
perché la misura  
di  $t_{\text{STOP}}$  è più vu-  
midosa e il segnale  
di eco è più de-  
bole dell'impulso  
lanciato (SNR  $\downarrow$ )

$\rightarrow$  in realtà ho rumore di AMPIEZZA:  
il trigger agisce sul segnale  $S(t)$  in uscita  
dal fotodiodo per determinare  
la posizione degli impulsi sulle esse del  
tempo: ho  $\sigma_S$

$\Rightarrow \sigma_S$  si traduce in RUMORE DI TEMPO  $\sigma_T$   
secondo la PENDENZA NEL P.TO DI  
TRIGGER.



$\Rightarrow$  impulsi brevi hanno pendente  
più alta e quindi  $\sigma_T$  più piccola!

# TELEMETRI A Onda Continua

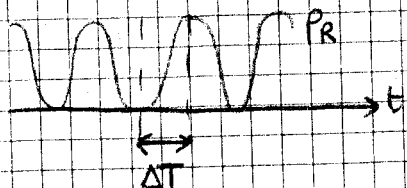
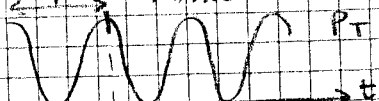
pot. emesso numerico fMOD

$$P(t) = P_0 [1 + m \cdot \sin(2\pi f_{MOD} t)]$$

sistema retardo di fase  
 $\Delta\varphi$  segnale ricevuto

$P_R$  e trasmesso  $P_T$

$$T_{MOD} = 1/f_{MOD}$$



$\Delta L = K \Delta\varphi$ :  $K$  = sensibilità di  $\varphi$  rispetto a  $L$ . (misurato rispetto a  $\varphi$ )

$$\Delta\varphi = KL \quad K = \frac{S(\text{usata})}{S(\text{ingr.})} = \frac{\Delta\varphi}{\Delta L} = \frac{2\pi f_{MOD}}{c/2} \propto f_{MOD} \rightarrow \text{se } f_{MOD} \text{ cresce troppo si fa rumore AMBIGUITÀ NELLA MISURA}$$

limiti entro cui sceglie  $f_{MOD}$  con  $L_{\min} = 10\text{m}$   $L_{\max} = 100\text{m}$   $\Delta L < 1\text{cm}$ .

$$f_{MOD,\max} = \frac{2L_{\max}}{c} \leq T_{MOD} = \frac{1}{2\pi f_{MOD}}$$

$$f_{MOD} \leq \frac{c}{L_{\max}} = 1.5 \text{ MHz} \quad \text{LIMITE SUPERIORE}$$

$$\Delta L = \frac{c}{2} \cdot \frac{\Delta\varphi}{2\pi f_{MOD}} \quad \Delta\varphi \leq 1\text{cm}$$

$$f_{MOD} \geq \frac{c}{2} \cdot \frac{\Delta\varphi}{2\pi \cdot 1\text{cm}} = 417 \text{ kHz} \quad \text{LIMITE INFERIORE.}$$

$$T_{VMAX} \leq T_{MOD}$$

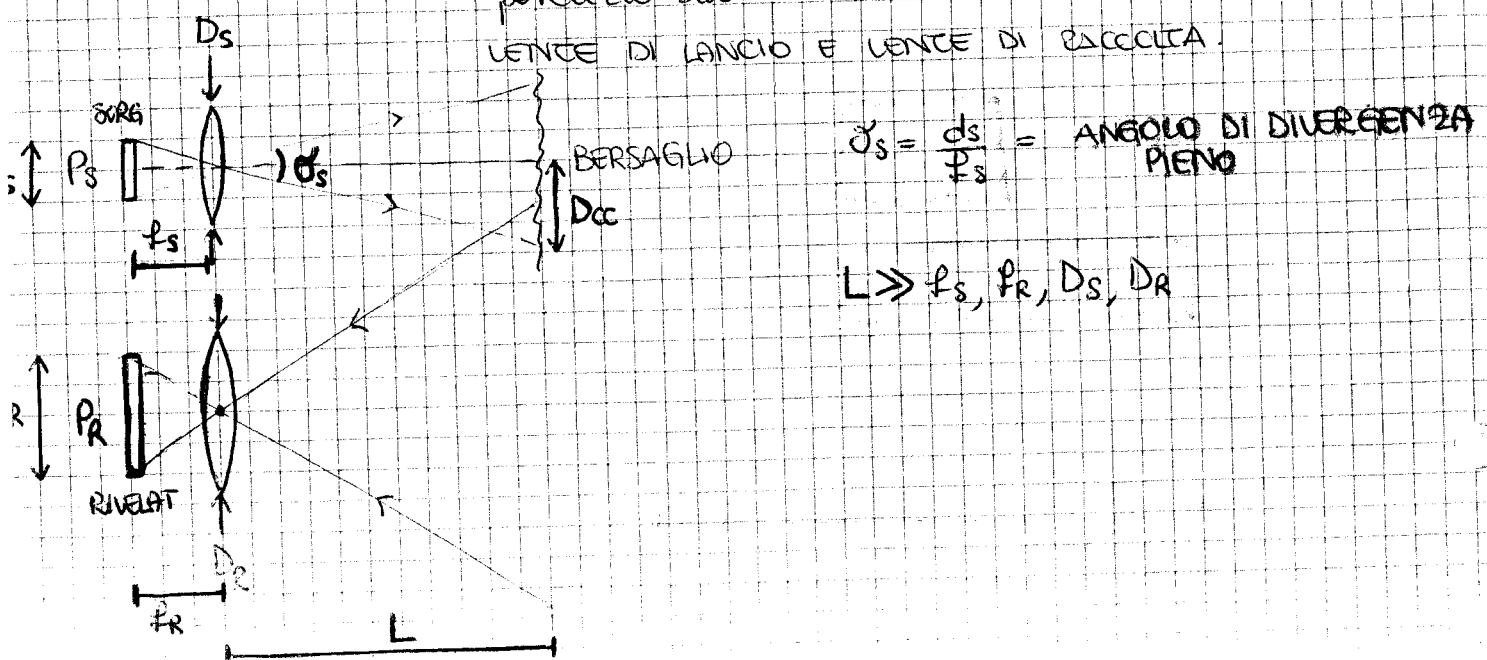
$$\Delta L \leq 1\text{cm} \text{ con } \Delta\varphi = 0.01 \text{ gradi}$$

$$\text{cioè } \varphi_{MAX} \leq 2\pi$$

## POWER BUDGET:

allocazione in un sistema di un trasmittore di pot. in uscita per ottenere la potenza radiata effettiva.

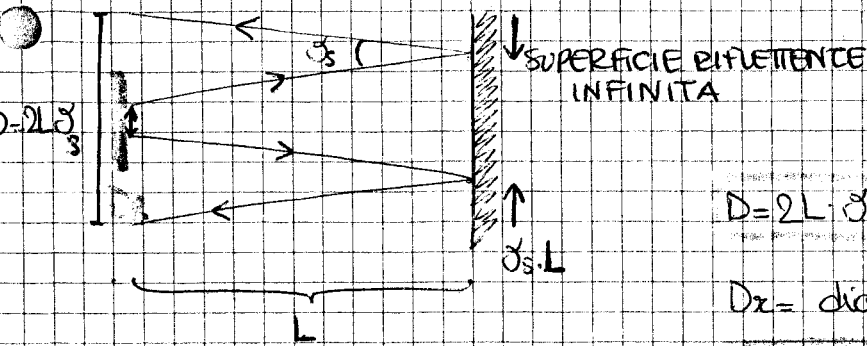
VENTE DI LANCIO E VENTE DI RICEZIONE



# BERSAGLIO

15

- COOPERATIVO (es CORNER CUBE)  $\rightarrow R \approx 1$  si comporta come uno SPECCHIO



il ricevitore vede la sorgente come se fosse a distanza  $2L$

$$D = 2L \delta_s \quad \text{dimensione massima dopo } 2L$$

$$D_x = \text{diam. lente di raccolta}$$

- se tutto il ricevitore è illuminato:  $D > DR$   $\rightarrow \frac{P_R}{P_S} = \frac{\pi^2 DR^2 / 4}{\pi^2 L^2 \delta_s^2 / 4} = \frac{DR^2}{L^2 \delta_s^2}$  FRAZIONE POT. RACCOLTA = rapporto ottenuto.

- SE CORNER CUBE t.c.  $D_{cc} < \delta_s \cdot L$

e  $DR$  raccoglie tutto il fascio:

$$\frac{P_R}{P_S} = \frac{4D_{cc}^2}{4L^2 \delta_s^2} = \frac{D_{cc}^2}{L^2 \delta_s^2}$$

**IL CORNER CUBE DIAFRAMMA!**  
(è come avere un ricevitore con  $DR = 2D_{cc}$  perché il c.c. sta dopo unico prop. di  $L$  mentre il ricevitore lo può avere prop. di  $2L$ !!!)

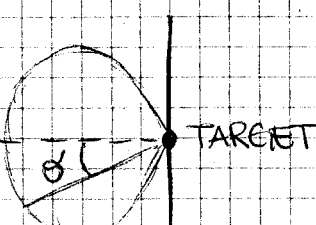
$$\Rightarrow D_{cc} < \frac{DR}{2} \quad \text{CONDIZIONE AFFINCHE' SIA IL CORNER-CUBE A DIAFRAMMARE}$$

- se oltre al c.c. diaframma anche i.e. ricevitori, allora la dimensione del c.c.  $D_{cc}$  non ha importanza e la fraz. di pot. raccolta coincide con quella per bersaglio infinitamente esteso.

$$\alpha_1 = \frac{D_{cc}}{\delta_s^2 L^2} \quad \alpha_2 = \frac{D_e}{(2D_{cc})^2} \Rightarrow \alpha = \alpha_1 \cdot \alpha_2 = \frac{D_e^2}{4L^2 \delta_s^2}$$

FRAZIONE DI POT. CHE CONTRIBUISCE AL FASCIO DIFFUSO.

- NON COOPERATIVO  $\rightarrow$  DIFFONDENTE con  $S < 1$  DIFFUSIVITÀ superficie illuminata area  $AT$



$\Rightarrow$  DIFFUSORE LAMBERTIANO (" $\propto \cos \theta$ "): la brillanza è uguale per ogni angolo  $\theta$ .

$$\Rightarrow \frac{P_S \cdot S}{AT} = I \quad \text{INTENSITÀ OTICA DIFFUSA}$$

$$I = I_0 \cos \theta$$

$\delta_R$  = angolo di vista del ricevitore del bersaglio

$$\frac{1}{\pi} \cdot \frac{I}{\delta_R} = \frac{P_S \cdot S}{AT \pi} = B \cdot \text{RADIANZA} \quad (B, L) \text{ emissività} \\ \text{uguale in tutto il semisazio.}$$

$$\Omega_R = \pi \delta_R^2 = \pi \cdot \frac{D_e^2}{4L^2}$$

ANGOLI SOLIDI CON CUI IL BERSAGLIO VEDDE IL RICEVITORE

$$[W/m^2 \cdot Sr]$$

$$\rightarrow B \cdot AT \cdot \Omega_R = \text{pot. per unità di angolo solido}$$

$$P_R = B \cdot AT \cdot \Omega_R = \frac{8P_S}{AT \pi} \cdot AT \cdot \frac{\pi DR^2}{4L^2} = P_S \cdot \frac{8DR^2}{4L^2} \Rightarrow \frac{P_R}{P_S} = \frac{8DR^2}{4L^2}$$

stessa formula cui basta - gli coop una cosa di più

$$\Rightarrow \text{DIFFERENZA: } S < 1 \leq \frac{L}{\delta_s^2} \Rightarrow \text{con } \delta_s^2 \text{ è come avere un quadrato mentre con } S \text{ una perdita.}$$

## I ANGOLO SOLIDO:

$$\Omega \approx \frac{\pi r^2}{R} \quad (r \ll R)$$



$$\Omega_U : \Omega_{TOT} = S : S_{SFERA}$$

$$\Omega_U : 4\pi = S : 4\pi R^2$$

$$\Omega_U = \frac{\pi r^2}{4\pi R^2} \cdot 4\pi = \frac{\pi r^2}{R^2} = \pi \beta^2$$

**RADIANTE** angolo piano che sottende, su uno circonf. centrato nel suo vertice, un arco di lunghezza pari al raggio della circ. stesso

**STERADIANTE** angolo solido che sottende, su uno sfere centrale nel suo vertice, una calotta sferica di area uguale al quadrato del raggio della sfera.

## POWER BUDGET + DIFFRAZIONE E PERDITE AGGIUNTIVE

$$\left| \frac{P_R}{P_S} \right|_c = T_{OPT} \cdot T_{ATM} \cdot \frac{D_r^2}{4L^2 \beta_s^2}$$

$T_{OPT} < 1$  OTICHE ATTRAVERSATE

$T_{ATM} < 1$  TRATTA 2L IN ATMOSFERA

$$\left| \frac{P_R}{P_S} \right|_{NC} = T_{OPT} \cdot T_{ATM} \cdot \frac{S D_r^2}{4L^2}$$

In generale:  $\left| \frac{P_R}{P_S} \right| = G \cdot (FOV_{eq})^2$

$$FOV_{eq} = D_r / 2L_{eq}$$

$$\left| \frac{P_R}{P_S} \right| = G \cdot \frac{D_r^2}{4L_{eq}^2}$$

$$L_{eq} = L / \sqrt{T_{ATM}}$$

$$\Rightarrow G = \begin{cases} T_{OPT} / \beta_s^2 & \text{se COOP.} \\ T_{OPT} \cdot S & \text{se NON COOP} \end{cases}$$

GUADAGNO EQUIVALENTE

### • GUADAGNO

$G \gg 1$  se BERS. COOP.

$$\boxed{\begin{aligned} \beta_s &= 1 \text{ mrad} \\ T_{OPT} &\approx 1 \\ \Rightarrow G_{COOP} &\approx 10^6 \end{aligned}}$$

$G < 1$  se BERS. NON COOP.

$$\boxed{S = 95 : 1}$$

$$\text{OTICHE} \rightarrow \text{materiali anti riflesso con porosità} < 1\% \\ R = \frac{(m_2 - m_1)^2}{(m_2 + m_1)^2} \approx 4\%$$

OTICHE  $\rightarrow$  trattate anti riflesso con porosità < 1% per ogni superficie attraversata per riflessione e  $10^{-3}$  per assorbimento  $\Rightarrow |T_{opt}| > 0.9 - 0.98 \approx 1$

• CCEFF DI ATTENUAZIONE → perdite per assorbim. e diffusione durante la propagazione (molecole/particolaro nell'atmosfera)

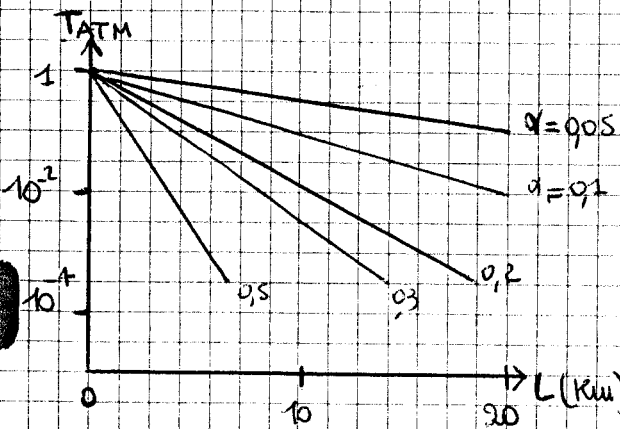
$$T_{ATM} = \exp(-2\alpha L) = \frac{P(2L)}{P(0)}$$

LAMBERT-BEER

$$\alpha = \omega(\lambda) + S(\lambda) = \alpha(\lambda)$$

" "

ASSORB. SCATTERING



+ evitando picchi di assorbimento molecolari

$\alpha = 0,1 \text{ Km}^{-1}$	atmosfera eccezionalmente limpida
$\alpha = 0,3 \text{ Km}^{-1}$	atmosfera limpida
$\alpha = 0,5 \text{ Km}^{-1}$	atmosfera
$\alpha > 0,5 \text{ Km}^{-1}$	nebbiosa.

### ATTENUAZIONE ATMOSFERICA

spettro luce solare che arriva alla spetf. terrestre rivela picchi di assorbim. e finestre di trasparenza dell'atmosfera.

$$AM = (\sin \delta)^{-1} = \text{AIR MASS}$$

$\delta$  = angolo di arrivo rispetto all'orizzonte.

però picchi il blu è scatterato più del rosso (scattering  $\propto \lambda^4$ ) e il cielo si colora di rosso.

### EQUAZIONI DI SISTEMA + SNR NEL TELEMETRO

CIRCUITO (fotorev + amplif. segnale)

$$\frac{P_R}{P_S} = G \cdot \frac{Dk}{4L_{eq}^2} \quad \left. \right\} G \cdot P_S = \frac{4L_{eq}^2}{Dk} \cdot \text{SNR} \cdot P_m$$

$P_R = \text{SNR} \cdot P_m$  per i imposti SNR

$$\text{SNR} = \frac{G \cdot P_S}{P_N} \cdot \frac{Dk}{4L_{eq}^2}$$

→ RUMORE ELETTRONICO

+ RUMORE OTTICO

+ RUMORE SHOT

⇒  $P_u = \text{POT. COMPRESSIVA DI RUMORE}$

$$\frac{P_R}{P_m} = \text{SNR}$$

$$\Rightarrow G \cdot P_S \propto L^2$$

TELEM. PULSATO: I CORRETTE!

$$\begin{cases} T_p \approx 2 \text{ ms} \\ T \approx 10 \text{ ms} \\ B = 100 \text{ MHz} \\ P_{S, \text{picco}} = 0,2 \text{ MW} \end{cases}$$

$$P_m \approx \text{MW} \leftarrow P \propto i_m = \sqrt{2 I_{REC} e B}$$

TELEM. Onda continua

$$P_S = 0,1 \text{ mW}$$

$$G = 10^4 \quad (\delta = 10 \text{ mrad})$$

$$T_{w, s} = 10 \text{ ms} \div 1 \text{ s}$$

$$B = 1/2 T_{w, s} = 1 \div 100 \text{ Hz}$$

$$P_m \approx \text{mW}$$

$$P_m = P_{m, S} + P_{m, BG} + P_{m, EL}$$

"  
SHOT, ASSO-  
CIATO AL SE-  
GNALE IR  
RICEVUTO

RUMORE AL RICEVITORE

$$I_R = \rho P_R$$

$$I_{BG} = \rho P_{BG}$$

$$\rightarrow I_{REC} = I_R + I_{BG}$$

$$I = \text{correl. DC}$$

$$i = 10 \text{ rad. AC}$$

$$i_{EL}^2 = 2e I_{EL} B$$

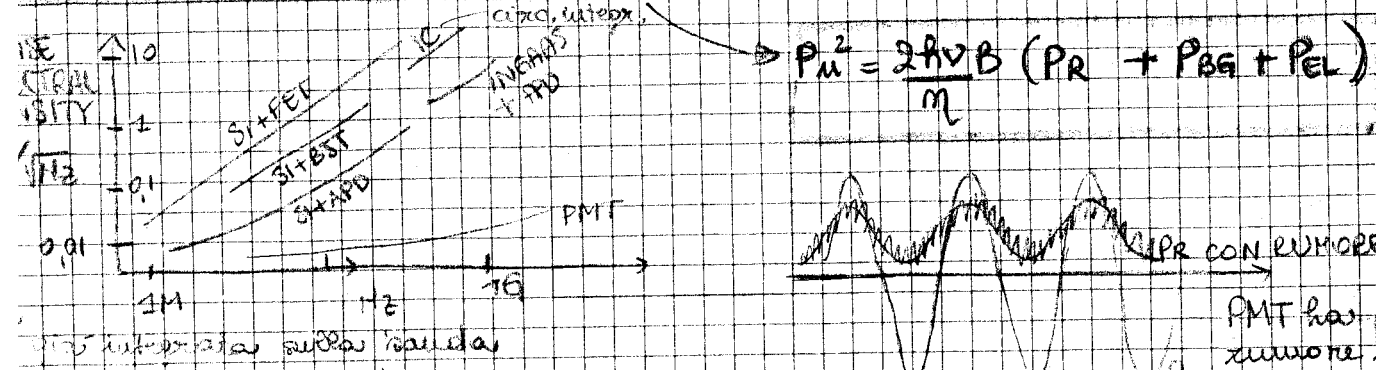
in ricezione con oscillazione IR atmosferico

$$I_{REC} = I_{MS} + I_{MBS} + I_{TEL} = 2eB(I_S + I_{BG} + I_{EL}) \rightarrow$$

corrente di rec.  
equivalente che  
genera x un  
shot pochi d'imp.  
del ricevitore  
(elettronico)

$$\frac{I^2}{W} = \frac{I_{REC}^2}{P^2} = \frac{2eB}{P^2} (I_S + I_{BG} + I_{EL})$$

$$\rho = me/hv$$



### • LUCE DI FONDO → BACKGROUND

- dirige irradiazione solare
- ricava irradiazione spettrale scena  $E_{SCENA}$  ( $W/m^2 nm m^2$ )
- $I_{SCENA} d\lambda = I_{OTTICA SCENA} \Rightarrow I_{SC} = E_{SC} \cdot \Delta\lambda$  ( $W/m^2$ )

LARGH.  
BANDA

$$I_{BG} = \frac{I_{SC} \cdot S \cdot \Delta\lambda}{\pi}$$

INTENSITÀ RACCOLTA  
DAL RICEVITORE  
( $W/m^2$ )

$$P_{BG} = \frac{I_{SC} S \Delta\lambda \cdot \pi D_R^2}{4}$$

POT. OTTICA RACCOLTA  
(W)

$$P_{BG} = \frac{E_{SC} \cdot \Delta\lambda \cdot S \cdot (NA)^2 \pi}{\pi} \cdot \frac{\pi D_R^2}{4} = E_{SC} \Delta\lambda S (NA)^2 \frac{\pi D_R^2}{4}$$

$$NA = \sin\left(\frac{D_R}{2f}\right) \cdot m$$

posso strutturare  
con un filtro

### ACCURATEZZA

#### • TELEMETRI PULSATI

$$L = \frac{CT}{2} \Rightarrow \sigma_L = \frac{C}{2} \sigma_T$$

se  $P_{rec} \propto T \downarrow$

$$T = T_{STOP} - T_{START} \Rightarrow \sigma_T^2 = \sigma_{STOP}^2 + \sigma_{START}^2 \approx \sigma_{STOP}^2$$

→ se ricevitore e-SNL, ( $\sigma_{STOP}$ )  $\approx$  ( $\sigma_{START}$ ) conversione mediante  
pendente

$$\sigma_T \propto \frac{T}{N_R}$$

$N_R = n^o$  fotoni ricevuti  
per un impulso o medito  
su più impulsi

$T =$  durata impulso (più piccolo possibile!)

→ se non finisce in segnale altre cause di rumore.

#### • TELEMETRI MODULAZIONE SINUSOIDALE

$$\sigma_T \propto \frac{1}{2\pi f_m} \frac{1}{\sqrt{N_R}}$$

$$\text{ANALOGO: } \frac{L}{2\pi f_m} \leftrightarrow T \quad (\text{fin più alta possibile!})$$

PROBLEMA: se  $f_m$  troppo alto, risoluzione  
di misura

$T = 10 \text{ ms}$   
 $f_m \leq 200 \text{ kHz}$

# AMBIGUITÀ NEI TELEMETRI A TEMPO DI VOLO

(17)

→ segnale da rivelare è periodico:

AMBIGUITÀ per distinguere bersagli a distanze  $L$  che possono ritornare segnali con stessa info di misura

→ tempo di volo misurato  
→ sfasamento ottimale

⇒ per evitare deve essere:

$$-\text{TEL. PULSATI} \quad T_{\text{MAX}} = T(L_{\text{MAX}}) < T_{\text{REP}} \quad \rightarrow T_{\text{REP}} \geq T_{\text{MAX}}$$

$$-\text{TEL. MODULAZ. SIN.} \quad \Phi_{\text{MAX}} = \varphi(L_{\text{MAX}}) = 2\pi \cdot f_{\text{MOD}} \cdot T_{\text{MAX}} \leq 2\pi \Rightarrow f_{\text{MOD}} \leq \frac{1}{T_{\text{MAX}}}$$

$L_{\text{MAX}}$  correttamente

misurabile è  $\Rightarrow T_{\text{MAX}} = \frac{2L_{\text{NA}}}{c} \leq \frac{1}{f_{\text{TELEM}}}$

richiede qualche LNA ci sono  
molti misuratori con telemetro ed  
strumenti di ambiguità per i quali  
è difficile misurare direttamente  
il tempo di volo.

$$f_{\text{TELEM}} \quad \begin{cases} f_{\text{REP}} \\ \text{oppure} \\ f_{\text{MOD}} \end{cases}$$

## LIDAR LIGHT IDENTIFICATION DETECTION AND RANGING

strutt. per misurare a distanza delle proprietà di un mezzo  
in cui si TRASMETTE E RETRODIFFONDE un IMPULSO OTTICO (back scattering)

- SORG. LASER → Q-SW: seve elevata pot di picco  
→ max o più ↑ per picchi di assorbimento e scattando

nuvole GAS, PARTICOLATO IN ATMOSF, INQUINANTI, acque: PLANCTON, ALGHE

- dal tempo di volo deduco distanza bersaglio analizzato
- da intensità segnale retrodiffuso: composiz chimico - fisica

⇒ MAPPE in funzione di angolo di elevaz. & distanza

## DIFAR (DIFFERENTIAL)

### OTDR (OPTICAL TIME DOMAIN REFLECTOMETRY)

segnale → luce partita dalla sorgente → tracce indietro

- TEL. PULSATI

$$\text{Q-SW: } T = 10\text{ ms} \quad f_{\text{REP}} = 10\text{ Hz} = 10\text{ kHz}$$

$$T_{\text{REP}} = \frac{1}{f_{\text{REP}}} \Rightarrow \text{LIMITE: } T_{\text{MAX}} = T_{\text{REP}}$$

luce & segnali riflessi (riflessioni)

$$L_{\text{NA}} = \frac{c}{2} \cdot T_{\text{REP}} = 15\text{ km} = 15\text{ km}$$

⇒ PROBLEMA per i grandi valori di  $f_{\text{REP}}$   
& conseguente forte incisione  
ripetute a mediare e maggiore  
accuratezza

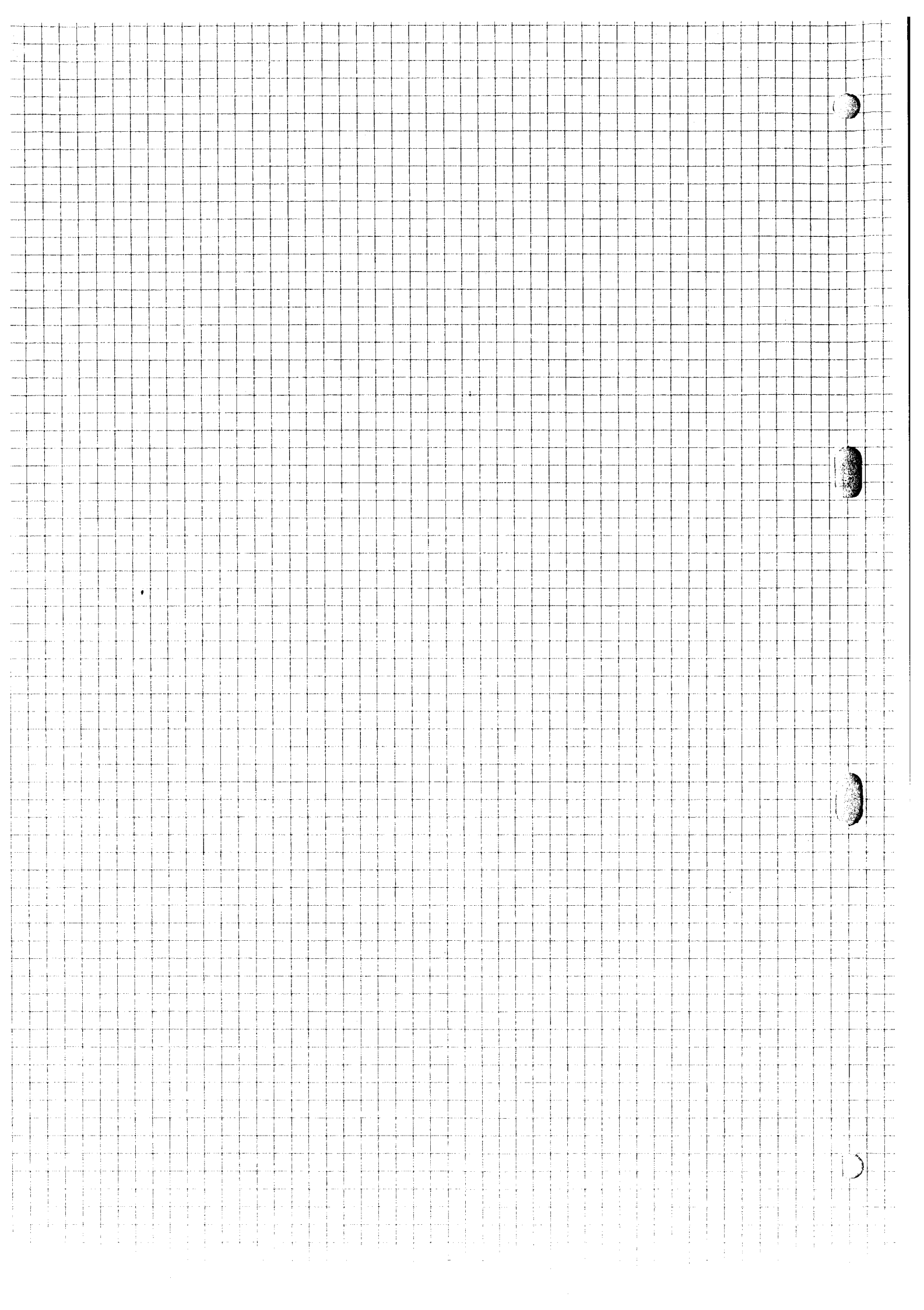
- TEL. MODULAZ. SIN.

$$\text{Laser digitale: } f_{\text{REP}} = 10\text{ MHz} = 10^7\text{ Hz}$$

LIMITE:

$$L_{\text{NA}} = \frac{c}{2} \cdot \frac{1}{f_{\text{REP}}} = \frac{15\text{ m}}{10^7\text{ Hz}} = 15\text{ km}$$

⇒ problema: giusta base

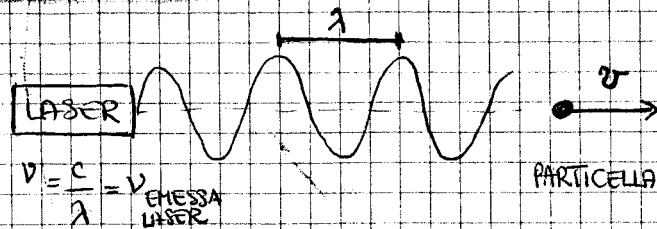


# VELOCIMETRI OTTICI

## PRINCIPI DI MISURA E APPLICAZIONI

### EFFETTO DOPPLER

$$v_{\text{osservata}} = v \left(1 - \frac{v}{c}\right)$$



$v_{\text{oss}} < v$  se l'oggetto si allontana.

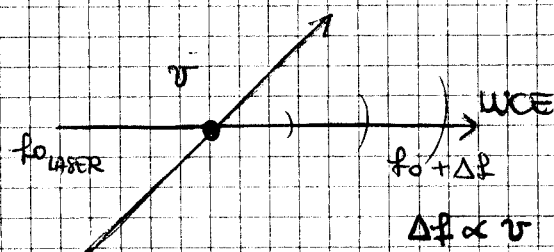
$v_{\text{oss}} > v$  se l'oggetto si avvicina.

$$v \ll c \Rightarrow \Delta v = (v - v_{\text{oss}}) = \frac{2}{c} \cdot v \ll v$$

SPOSTAMENTO DOPPLER

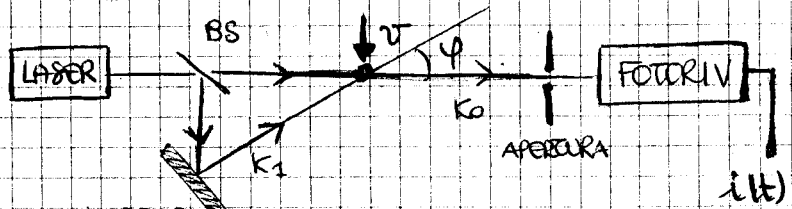
$$\begin{aligned} \lambda &= 0,6 \text{ MM} \\ v_{\text{laser}} &= 500 \text{ THz} \\ v &= 1 \text{ m/s} \\ \Rightarrow \Delta v &\approx 1,7 \text{ MHz} \quad \rightarrow \text{difficile da misurare} \\ \Rightarrow \frac{\Delta v}{v} &= 3,3 \cdot 10^{-9} \end{aligned}$$

### METODO ETERODINA PER VELOCIMETRIA



per misurare  $\Delta f$  di qualche MHz è il metodo migliore.

BATTIMENTO con fascio laser riferimento



## MISURE DI VELOCITÀ dei FLUIDI

### LDV: LASER DOPPLER VELOCIMETRY (1964)

→ rivelazione senza contatto dell'ampiezza di velocità di fluidi in movimento, che trasportano particelle diffondenti

- naturali e presenti
- iniettate artificialmente.

→ DIFFUSIONE (SCATTERING): interazione campo e.m. e particelle

- RAYLEIGH ( $\sigma \ll \lambda$ )  $\alpha_s \propto \sigma / \lambda^4$   $f(\theta) = \text{cost}$  con  $\theta$
- MIE ( $\sigma \gtrsim \lambda$ )  $\alpha_s \approx \text{cost}$   $f(\theta) \text{ MAX per } \theta = 0$

→ segnale di misura (interpretazione):

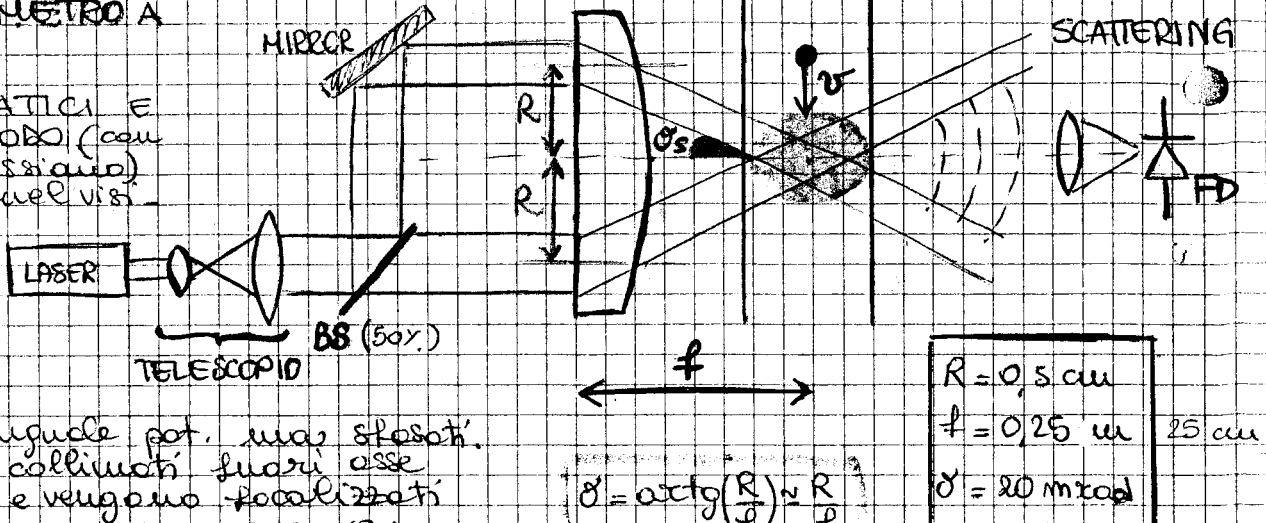
- attraversamento di frange
- effetto Doppler (con lo shift doppler)
- sfasamento interferometrico

$\lambda$  = dimensione  
particella diffon-  
dente

## SET-UP DI MISURA

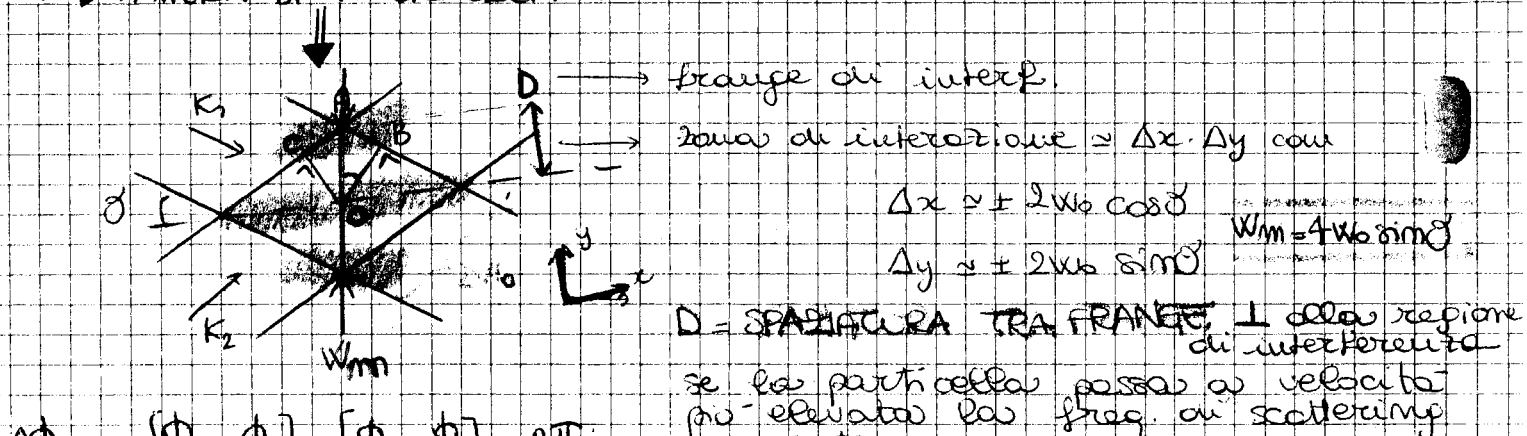
### INTERFEROMETRO A DUE FASCI

MONOCROMATICI E SINGOLO MODO (con profilo gaussiano) meglio se nel visibile.



fasci con uguali pot. ma spessi. incidono collimati fuori asse sulla lente e vengono focalizzati nella regione di INTERFERENZA

### PATTERN DI INTERFERENZA



$$\Delta \phi_{OA} = [\phi_2 - \phi_1]_0 - [\phi_2 - \phi_1]_A = 2\pi$$

$$\Delta \phi_{OA} = \Delta \phi_2 - \Delta \phi_1 =$$

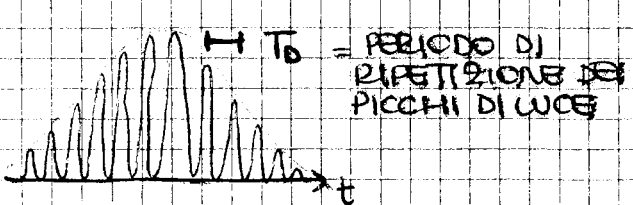
$$= \phi_{2,OC} + \phi_{2,CA} - \phi_{1,OB} - \phi_{1,AB} =$$

$$= 0 + K_2 \cdot \overline{CA} - 0 - K_1 \cdot \overline{AB} =$$

$$\Delta \phi_{OA} = \frac{2\pi}{\lambda} \cdot D \sin \theta \cdot 2 = 2\pi$$

$$\Delta \phi_{WCE-WCE} = \Delta \phi_{BUO-BUO} = 2\pi$$

$$\Delta \phi_{WCE-BUO} = \pi$$



$$T_D = \frac{D}{v} \rightarrow f_D \propto v$$

PERIODO  
e FREQ.  
SEGNALE  
WCE DIFFUSA

lo spessore della zona attraversata varia con la posiz. della lente di attraversamento.

profilo del fascio ottico è gaussiano: intensità della luce diffusa dipende dalla posizione.

- La distanza tra i picchi di luce dipende da v

T\_D piccolo al centro del tubo e grande ai bordi

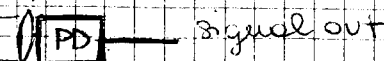
$$f_D = \frac{1}{T_D} = \frac{v}{D} = v \cdot \frac{2 \sin \theta}{\lambda} \propto v$$

ANALIZZATORE DI SPECTRO PER  
RADIO-FREQ. A ETTERODINA oppure

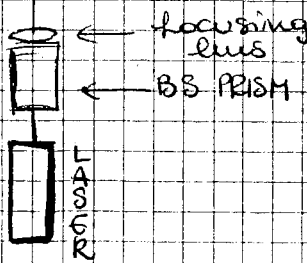
CAMPIONANDO E ALGORITMO FFT.

PARTICLE FLOW  
INTO PAGE  $\alpha$

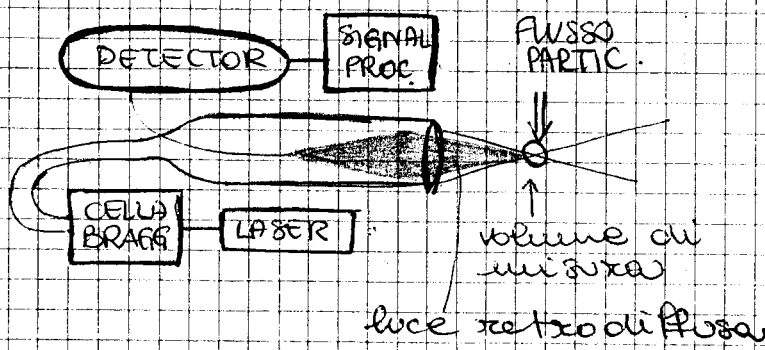
$\rightarrow$  luce di ricezione



$\alpha$  = collection angle



ANGLE SCATTERING SCHEME



FLUSSO PART.

volume di misura

luce retrodiffusa

SENSIBILITÀ

$$S = \frac{\Delta f}{\Delta v} = \frac{2 \sin \theta}{\lambda}$$

$$D = f_D \cdot t = \frac{f_D}{2} \cdot \frac{2 \sin \theta}{\lambda}$$

MISURE:

- contatore

- angle scattering w FFT
- correlazione.

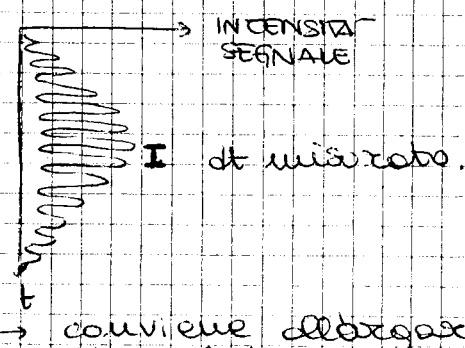
- aereali per  $v$  basse,

- critiche per  $v > 100 \text{ m/s}$

- fa agevolmente misurabile dopo conversione A/D.

$$\mu(f_D) / f_D \approx 10^{-6} \text{ (buono!!)}$$

BACK-SCATTERING SCHEME



I dt misurato.

→ conviene allargare l'angolo!

$$\mu_r(f_b) = \sqrt{\mu_r^2(\theta) + \mu_r^2(\lambda) + \mu_r^2(\sigma)}$$

$$\mu_x(S) = \sqrt{\mu_x^2(\theta) + \mu_x^2(\lambda)} =$$

$$= \sqrt{\frac{\mu^2(\theta)}{\theta^2} + \frac{\mu^2(\lambda)}{\lambda^2}}$$

$$\frac{\mu(\lambda)}{\lambda} \approx 10^{-4} \rightarrow \text{non prebole metrico.}$$

$$\sigma \approx \frac{x}{\theta}$$

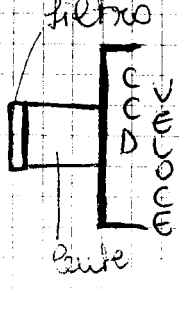
$$\mu(\theta) / \theta \approx 10^{-4}$$

$$\mu(x) / x \approx 10^{-3} - 10^{-2}$$

$$\Rightarrow \frac{\mu(S)}{S} \approx \frac{\mu(\theta)}{\theta} \approx 10^{-3}$$

## • PIV: PARTICLE IMAGE VELOCIMETRY

getto acqua

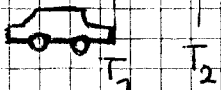


instabilità meccanica

luce laser o flash ultrarapido per illuminare  
particelle rivelate con CCD veloce e realizzate  
immagini delle particelle in fine del tempo  
→ ricostruzione per RBC spaziale delle  
velocità.

# AUTOVELOX

## • A BARRIERA OTTICA: (c1a+c2)

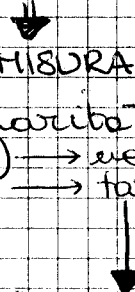


$$D \approx 0.5 \text{ m}$$

$$v = \frac{D}{(T_2 - T_1)} = \frac{D}{T_{\text{u}}}$$

$v = 150 \text{ Km/h}$
$T_{\text{u}} = 12 \text{ ms}$
$\Delta T_{\text{u}} \approx 1 \mu\text{s} \rightarrow \text{risoluz. ottonica}$
$\Rightarrow \Delta v = -\frac{D}{(T_{\text{u}})^2} \Delta t \approx 1 \text{ Km/h}$

PROBLEMA: eccitati o false lettture + insensibilità al profilo del veicolo



DOPPIA MISURA

(Se non ho planarità  
ho sovrastima)  $\rightarrow$  necessaria COMPLANARITÀ costruttiva!  
 $\rightarrow$  trascrivere ogni anno.



accuracy < 1%  
(adatto alla misura!)

se  $\theta \neq 0$   $d = D \cos \theta < D$

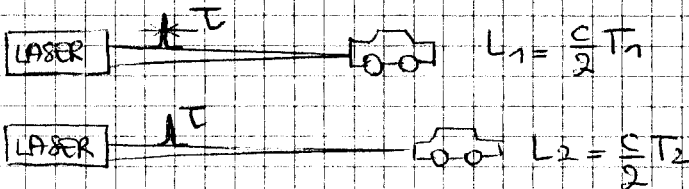
$T_{\text{u}} = \frac{D}{T_{\text{u}}}$  se  $\theta = 0$

$T_{\text{u}}^* = \frac{d}{v} < T_{\text{u}} \theta \neq 0$

$\Rightarrow v_{\text{u}}^* = \frac{D}{T_{\text{u}}^*} = \frac{D}{\frac{d}{v}}$

$v_{\text{u}}^* = v / \cos \theta > v$

## • TELELASER



dato  $T_{\text{rep}}$  si possono fare misure ripetute e una media (ridotti errori e incertezza).

$v = \frac{L_2 - L_1}{T_{\text{rep}}} = \frac{c}{2} \frac{(T_2 - T_1)}{T_{\text{rep}}}$

$T_{\text{rep}} \approx 8 \mu\text{s}$

$L_{\text{MAX}} \approx L_{\text{NA}} = 1200 \text{ m}$